

ДВУХФОТОННЫЕ ТОРМОЗНЫЕ ПРОЦЕССЫ В АТОМАХ: ПОЛЯРИЗАЦИОННЫЕ ЭФФЕКТЫ И АНАЛИТИЧЕСКИЕ РЕЗУЛЬТАТЫ ДЛЯ КУЛОНОВСКОГО ПОТЕНЦИАЛА

А. А. Крыловецкий, Н. Л. Манаков, С. И. Мармо*

*Воронежский государственный университет
394006, Воронеж, Россия*

*А. Ф. Стараче***

*University of Nebraska, Department of Physics and Astronomy
Lincoln, NE 68588-0111, USA*

Поступила в редакцию 7 июня 2002 г.

Выполнен парциально-волновой анализ сечений двухфотонных свободно-свободных (тормозных) переходов электрона при рассеянии на статическом потенциале $U(r)$, а также на атоме с ненулевым угловым моментом. Дипольное взаимодействие с излучением учитывается во втором порядке теории возмущений для общего случая эллиптической поляризации фотонов. Поляризационная и угловая зависимости двухфотонной амплитуды потенциального рассеяния представлены в виде комбинации скалярных произведений импульсов электрона и векторов поляризации фотонов и пяти атомных параметров, содержащих полиномы Лежандра от угла рассеяния и радиальные матричные элементы, зависящие от начальной E и конечной E' энергий электрона. Результаты применимы как для спонтанного двойного тормозного излучения при нерелятивистских энергиях, так и для вынужденного поглощения и излучения в поле световой волны. Проанализированы специфические поляризационные эффекты (циркулярный и эллиптический дихроизм) в двухфотонных тормозных процессах, обусловленные интерференцией эрмитовой и антиэрмитовой частей амплитуды и зависящие от знака спиральности фотонов. Аналитически исследованы предельные случаи малых и больших частот фотонов и найдены асимптотики радиальных матричных элементов и амплитуд для потенциала $U(r)$ общего вида. Для кулоновского потенциала получены замкнутые аналитические выражения для радиальных матричных элементов в виде интегралов от гипергеометрической функции и в явном виде выделены сингулярности при $E' \rightarrow E$. Обсуждаются методы приближенного расчета радиальных матричных элементов и приводятся результаты их точного численного расчета, а также угловых распределений и сечений вынужденного одно- и двухфотонного излучения и поглощения для случая кулоновского потенциала. Как показывают численные результаты, эффекты дихроизма вполне доступны для экспериментального наблюдения.

PACS: 03.65.Nk, 34.80.Qb, 34.50.Rk

1. ВВЕДЕНИЕ

Процессы рассеяния электронов на атомах и ионах, сопровождающиеся излучением и поглощением фотонов, составляют обширный раздел атомной физики. Начало квантовому описанию таких процессов положило исследование Зоммерфельдом (1931 г.) спонтанного тормозного

излучения (Bremsstrahlung, BrS) при рассеянии электрона на кулоновском центре [1]. В нерелятивистском дипольном приближении сечение BrS с испусканием фотона с частотой ω и вектором поляризации \mathbf{e} в направлении \mathbf{k} ,

$$\frac{d\sigma}{d\omega d\Omega_{\mathbf{p}'} d\Omega_{\mathbf{k}}} = \frac{e^2 \hbar^5}{(2\pi)^4 c^3} \frac{p'}{p} \omega |\mathcal{M}|^2, \quad (1)$$

определяется матричным элементом (МЭ)

$$\mathcal{M} = \left\langle \psi_{\mathbf{p}'}^{(-)} \left| \mathbf{e}^* \cdot \nabla \right| \psi_{\mathbf{p}}^{(+)} \right\rangle \quad (2)$$

*E-mail: manakov@thp.vsu.ru

**A. F. Starace.

перехода между состояниями непрерывного спектра $\psi_{\mathbf{p}}^{(+)}$ и $\psi_{\mathbf{p}'}^{(-)}$ электрона в статическом атомном потенциале $U(r)$. При рассеянии на кулоновском центре трехмерный МЭ \mathcal{M} вычисляется через гипергеометрические функции ${}_2F_1(a, b; c; x)$ [1, 2]. Более того, в этом случае оказывается возможным аналитически проинтегрировать сечение (1) по направлениям рассеянного электрона и выразить спектральное распределение BrS , $d\sigma/d\omega$, в замкнутой форме через производную квадрата модуля функции ${}_2F_1$ по аргументу (формула Зоммерфельда [1, 3]). Для потенциала $U(r)$ общего вида расчет сечения (1) состоит в использовании мультипольного разложения функций $\psi_{\mathbf{p}}^{(\pm)}$ (см. ниже (15)). В этом случае парциальное разложение амплитуды \mathcal{M} , удобное для анализа поляризации-угловой зависимости сечения, имеет вид [4]

$$\mathcal{M} = Q(p, p', \theta) (\mathbf{e}^* \cdot \mathbf{p}) + Q(p', p, \theta) (\mathbf{e} \cdot \mathbf{p}'), \quad (3)$$

$$Q(p, p', \theta) = i \frac{2\pi^2}{m\sqrt{p^3 p'}} \sum_{l=1}^{\infty} [\exp(i\Delta_{l-}) d_{l-1l}(E', E) + \exp(i\Delta_{l+}) d_{l+1l}(E', E)] P_l^{(1)}(\cos\theta). \quad (4)$$

Здесь $\Delta_{l\pm} = \delta_{l\pm 1}(p') + \delta_l(p)$, $\delta_l(p)$ — фазы рассеяния на потенциале $U(r)$, $P_l^{(1)}(x) = (d/dx)P_l(x)$ — производная полинома Лежандра $P_l(x)$, $E' = p'^2/2m = E - \hbar\omega$, а $d_{l'l}(E', E)$ — радиальные МЭ оператора импульса (см. (37)). Спектральное распределение $d\sigma/d\omega$ также записывается в виде парциального ряда:

$$\frac{d\sigma}{d\omega} = \frac{8\pi^2 e^2 \hbar^5}{3m^2 c^3} \frac{\omega}{p^2} \times \sum_{l=1}^{\infty} l [|d_{l-1l}(E', E)|^2 + |d_{l+1l}(E', E)|^2]. \quad (5)$$

В кулоновском случае этот ряд удается просуммировать непосредственно (см. работу [5], где аналитически вычислена сумма ряда (5), записанного с использованием оператора взаимодействия в «форме ускорения») и воспроизвести формулу Зоммерфельда. Хотя для кулоновского BrS такой подход имеет скорее методический интерес, для потенциала $U(r)$ общего вида парциально-волновой анализ является единственным способом упрощения общих формул (1), (2) без дополнительных приближений.

Наряду с обычным BrS , при рассеянии электрона на силовом центре возможен и процесс одновременного излучения двух спонтанных фотонов (двойное тормозное излучение, 2BrS), который в общем виде

был впервые рассмотрен Гайтлером и Нордгеймом в 1934 г. [6] как радиационная поправка к обычному BrS . В 1985 г. спонтанное 2BrS было зарегистрировано экспериментально: в [7] и последовавших за ней работах [8] методом совпадений измерены дифференциальные сечения излучения двух тормозных фотонов при рассеянии электронов с энергией около 70 кэВ на тонких мишенях. В экспериментах [9] спонтанное 2BrS наблюдалось для электронов с энергией порядка 10 кэВ. Первые теоретические расчеты сечения 2BrS при рассеянии электрона на ядре были выполнены в релятивистском борновском приближении [10]. Точный учет действия кулоновского поля на электрон в процессе 2BrS возможен в рамках нерелятивистского дипольного приближения. С использованием кулоновской функции Грина амплитуду 2BrS удается представить в виде интегралов от гипергеометрической функции ${}_2F_1$ (двухфотонный аналог результатов работ [1, 2] для \mathcal{M} в (2)). Различные способы расчета двухфотонных амплитуд (с разными представлениями кулоновской функции Грина), использованные разными авторами, приводят к количественно эквивалентным, но различным по форме выражениям [11–13]. В частности, в [13] в амплитуде выделены внеинтегральные («борновские») слагаемые, значительно упрощающие анализ предельных случаев. Следует отметить предложенный Королем [14] эффективный приближенный метод расчета амплитуды 2BrS , основанный на учете в однофотонных МЭ $d_{l_2 l_1}(E_2, E_1)$, входящих в составной МЭ двухфотонного перехода, лишь вклада от δ -образных сингулярностей, возникающих при $E_2 \rightarrow E_1$. В дальнейшем этот метод был распространен на недипольные расчеты [15] и на релятивистский случай [16]. Точные аналитические выражения для нерелятивистской амплитуды 2BrS с учетом эффектов запаздывания получены в [17, 18]. Кроме перечисленных результатов для кулоновского потенциала, численные расчеты спонтанного 2BrS были выполнены также для рассеяния электронов на нейтральных атомах как в рамках модели потенциального рассеяния [19], так и при учете поляризационного тормозного излучения атомным остовом [20].

Наряду со спонтанным излучением, значительный интерес к многоквантовым тормозным процессам был стимулирован лазерными экспериментами, что позволило наблюдать вынужденные процессы многофотонного тормозного излучения и поглощения в оптической области частот. Первые измерения сечений свободно-свободных переходов в присутствии интенсивной лазерной волны были выполнены в работах [21, 22]. Такого рода эксперимен-

ты неоднократно проводились и в дальнейшем для различных атомных мишеней при разных энергиях электронного пучка и геометрии опыта (см., например, [23] и обзор [24]). Весьма общих результатов в теоретическом описании многофотонных переходов в непрерывном спектре удается достичь в рамках борновского и низкочастотного приближений. В борновском случае сечение $d\sigma^n$ n -фотонного вынужденного излучения ($n < 0$) и поглощения ($n > 0$) в лазерном поле с амплитудой F , вектором поляризации \mathbf{e} и частотой ω имеет простой вид (формула Бункина–Федорова [25]; см. также [26]):

$$d\sigma^n = \frac{p'_n}{p} J_n^2 \left(\frac{eF|\mathbf{e} \cdot (\mathbf{p} - \mathbf{p}'_n)|}{m\hbar\omega^2} \right) d\sigma_B, \quad (6)$$

где J_n — функция Бесселя, $d\sigma_B$ — борновское сечение упругого рассеяния в отсутствие световой волны, а импульсы p и p'_n в начальном и конечном состояниях связаны законом сохранения энергии: $(p_n'^2 - p^2)/2m = n\hbar\omega$. Как показано в [27], в низкочастотном пределе ($\omega \rightarrow 0$) борновский ряд может быть просуммирован точно, так что даже для медленных электронов при $\hbar\omega \ll E$ сечение $d\sigma^n$ также имеет факторизованный вид (6) с заменой $d\sigma_B$ на точное сечение упругого рассеяния $d\sigma_0$ в отсутствие светового поля. Отметим, что хотя были предложены различные варианты вывода низкочастотной асимптотики $d\sigma^n$ (см., например, [28, 29]), вопрос о границах применимости приближения Кролла–Ватсона [27], пренебрегающего воздействием лазерного поля на динамику взаимодействия медленного электрона с атомным потенциалом, до настоящего времени является предметом дискуссий [30–33]. В [34] выражение для $d\sigma^n$ получено в приближении, в котором движение электрона описывается классически, а процесс излучения и поглощения — квантовомеханически. Различные варианты обобщения результатов [25, 27] с учетом эффектов сильного лазерного поля см., например, в обзоре [35], однако точный учет рассеивающего потенциала возможен лишь в рамках теории возмущений по полю волны. В частности, для кулоновского двойного тормозного излучения и поглощения такой расчет полностью аналогичен случаю спонтанного 2BrS [11–13]. Однако при упругом переизлучении фотонов возникает особая ситуация: оба МЭ, определяющие амплитуду перехода, оказываются расходящимися, так что получение конечного результата требует устранения расходимостей [13, 36]. Кроме чисто вынужденных переходов, индуцируемых интенсивным лазерным полем, оно может существенно модифицировать и процесс спонтанного BrS. В бор-

новском приближении этот вопрос исследован в [37]. Более детальный учет эффектов атомного (кулоновского) потенциала выполнен в [38, 39]. Укажем также работы [40, 41], в которых рассматривались «комбинированные» двухфотонные тормозные процессы комптоновского типа — поглощение электроном лазерного фотона с последующим спонтанным BrS в поле ядра.

Ввиду трудностей экспериментального измерения поляризационных характеристик спонтанного BrS, в работах по спонтанным тормозным процессам анализируются, в основном, энергетическая и угловая зависимости сечений. Напротив, в случае вынужденных процессов возможность контролируемого изменения лазерной поляризации открывает новые возможности в исследовании свободно-свободных переходов, что делает актуальным анализ поляризационных эффектов в тормозных процессах. Обобщение результатов Кролла–Ватсона [27] на случай эллиптической поляризации лазерного излучения обсуждается в [31, 42]. В работах [43, 44] показано существенное различие сечений одно- и двухфотонного рассеяния для случаев линейной и циркулярной лазерной поляризации при рассеянии электронов на атомах водорода [43] и гелия [44]. Однако наиболее ярким поляризационным эффектом является эффект дихроизма, состоящий в различии сечений при изменении знака степени циркулярной поляризации фотонов. В [4] установлено, что дифференциальное сечение однофотонного BrS при рассеянии электрона на ядре существенно различается для фотонов с правой и левой циркулярными поляризациями (циркулярный дихроизм, CD). Общий анализ CD в тормозном излучении при рассеянии электрона на атоме с ненулевым угловым моментом выполнен в [45]. Поляризационная зависимость поправок к упругому кулоновскому рассеянию, обусловленных влиянием световой волны, исследована в [13, 36]. Эффект CD оказывается чувствительным к энергии электрона и частоте фотона и исчезает как в борновском, так и в низкочастотном пределах, а также при малых углах рассеяния. Вне указанных областей CD имеет заметную величину и вполне доступен экспериментально. Укажем, что CD в фотопроцессах с неполяризованными атомными мишенями является существенно квантовым интерференционным эффектом и, в частности, отсутствует при классическом анализе BrS в сильном лазерном поле [46]; в то же время численный квантовый расчет однофотонного кулоновского BrS вне рамок теории возмущений по лазерному полю [47] указывает на

значительный CD. В работах [48] рассмотрено рассеяние электрона на атоме водорода в присутствии двух полей, с линейной и циркулярной поляризациями. При наличии двух полей возникновение дихроичных эффектов достаточно очевидно, и в этом случае при определенной геометрии полей CD отличен от нуля и для быстрых (борновских) электронов, а также в полном сечении рассеяния.

Как уже отмечалось, для корректного описания поляризационных эффектов первое борновское приближение недостаточно и необходим более точный учет взаимодействия электрона с мишенью, что для процессов с двумя и более фотонами представляет значительные трудности уже в рамках теории возмущений по взаимодействию электрона с излучением. Ввиду наличия в задаче нескольких векторных параметров, в первую очередь представляет интерес выделение динамических (зависящих от энергий и структуры потенциала) и кинематических (зависящих от поляризации фотонов и геометрии задачи) факторов в общих выражениях для сечений. В настоящей статье выполнен парциально-волновой анализ сечений двухфотонных свободно-свободных переходов, применимый как для потенциального рассеяния в поле $U(r)$, так и для рассеяния на атоме с ненулевым угловым моментом. Общие результаты проиллюстрированы аналитическими и численными расчетами для рассеяния на кулоновском потенциале. В разд. 2 проведено максимально возможное аналитическое упрощение амплитуды двухфотонных дипольных переходов для случая центрального потенциала $U(r)$, обобщающее результаты (3), (4) для однофотонного BrS. В отличие от двучленного выражения (3), двухфотонная амплитуда для общего случая различных фотонов записывается в виде суммы пяти произведений инвариантных (не зависящих от поляризации фотонов) атомных параметров Q_i и скалярных произведений векторов поляризации фотонов и начального и конечного импульсов электрона. Аналогично (4), параметры Q_i представлены в виде ряда из произведений радиальных МЭ второго порядка, $M_{l'l}^{L=l\pm 1}$, между состояниями континуума с фиксированными значениями орбитальных моментов l и l' и полиномов Лежандра от угла рассеяния θ . Такая форма представления амплитуды позволяет получить явные выражения для атомных параметров, описывающих дихроичные поляризационные явления, зависящие от знака спиральности фотонов (п. 2.3), и, в частности, показать, что при вынужденных двухфотонных процессах наряду с CD возникает новый дихроичный эффект — эллиптический дихроизм (ED), исчезаю-

щий в случае чисто циркулярной поляризации лазерного поля. Проанализированы оптимальные условия для наблюдения CD и ED. В разд. 3 (см. также Приложение Б) получены замкнутые аналитические выражения для кулоновских МЭ $M_{l'l}^L$ в виде суммы МЭ $d_{l_2 l_1}(E', E)$ обычного BrS и однократного интеграла от функции ${}_2F_1$. В разд. 4 рассмотрены упругие двухфотонные переходы и показано, что сингулярности, возникающие в $M_{l'l}^L$ при сближении энергий конечного и начального состояний, $E' \rightarrow E$, компенсируются при вычислении инвариантных параметров $Q_i^{e'l}$, для которых в случае кулоновского рассеяния получены явные аналитические выражения. В разд. 5 исследованы предельные области малых и больших частот фотонов и найдены простые асимптотики амплитуд неупругого рассеяния для центрального поля $U(r)$. Частотная и энергетическая зависимости кулоновских радиальных МЭ, а также точность приближенных методов расчета обсуждаются в п. 6.1. В п. 6.2 приведены результаты для угловых распределений и поляризационной зависимости процессов вынужденного двухфотонного излучения и поглощения и проведено сравнение численных величин сечений одно- и двухфотонных тормозных переходов. Полученные в настоящей работе аналитические формулы для кулоновских МЭ $M_{l'l}^L$ являются наиболее общими выражениями для амплитуд двухфотонных переходов в кулоновском поле между состояниями с фиксированными орбитальными моментами l и l' . Как показано в Приложении Б, аналитическим продолжением по энергии ($p \rightarrow imZe^2/n\hbar$ и/или $p' \rightarrow imZe^2/n'\hbar$) из них следуют известные результаты для случая, когда оба или одно из состояний принадлежат дискретному спектру [49].

Далее в статье используется атомная система единиц.

2. ПОЛЯРИЗАЦИОННО-УГЛОВАЯ СТРУКТУРА СЕЧЕНИЙ ДВУХФОТОННЫХ ТОРМОЗНЫХ ПРОЦЕССОВ

2.1. Общие формулы

Амплитуда двухфотонного перехода электрона между состояниями рассеяния с асимптотическими импульсами $\mathbf{p}_i \equiv \mathbf{p}$ и $\mathbf{p}_f \equiv \mathbf{p}'$ в потенциале $U(r)$ определяется МЭ второго порядка теории возмуще-

ний (ср. (2)):

$$M(\mathbf{e}_2, \mathbf{e}_1, \mathcal{E}) = - \left\langle \psi_{\mathbf{p}'}^{(-)} \left| (\mathbf{e}_2 \cdot \nabla') G_{\mathcal{E}}(\mathbf{r}', \mathbf{r}) (\mathbf{e}_1 \cdot \nabla) \right| \psi_{\mathbf{p}}^{(+)} \right\rangle, \quad (7)$$

где $\psi_{\mathbf{p}'}^{(-)}(\mathbf{r}')$ и $\psi_{\mathbf{p}}^{(+)}(\mathbf{r})$ — волновые функции непрерывного спектра с асимптотикой сходящихся (–) и расходящихся (+) волн, нормированные условием

$$\left\langle \psi_{\mathbf{p}'}^{(\pm)} \left| \psi_{\mathbf{p}}^{(\pm)} \right. \right\rangle = (2\pi)^3 \delta(\mathbf{p}' - \mathbf{p}),$$

$G_{\mathcal{E}}$ — функция Грина гамильтониана с потенциалом $U(r)$ с асимптотикой расходящихся волн при $\mathcal{E} > 0$. Дифференциальное сечение спонтанного 2BrS с испусканием фотонов в направлениях \mathbf{k}_1 и \mathbf{k}_2 ($|\mathbf{k}_i| = 1$, $\mathbf{e}_i \cdot \mathbf{e}_i^* = 1$, $i = 1, 2$) имеет вид

$$\frac{d\sigma^5}{d\Omega_{\mathbf{p}'} d\Omega_{\mathbf{k}_1} d\Omega_{\mathbf{k}_2} d\omega_1 d\omega_2} = \frac{\alpha^6}{(2\pi)^6} \frac{p'}{p} \omega_1 \omega_2 \times \\ \times |M(\mathbf{e}_2^*, \mathbf{e}_1^*, E - \omega_1) + M(\mathbf{e}_1^*, \mathbf{e}_2^*, E - \omega_2)|^2. \quad (8)$$

При рассеянии электрона на силовом центре $U(r)$ в присутствии интенсивной световой волны, электрический вектор которой будем записывать в виде

$$\mathbf{F}(t) = F \operatorname{Re} \{ \mathbf{e} \exp(-i\omega t) \}, \quad \mathbf{e} \cdot \mathbf{e}^* = 1,$$

основной интерес представляют вынужденные многофотонные процессы. При этом вынужденные двухфотонные переходы определяют процессы двойного тормозного излучения и поглощения, а также линейную по интенсивности волны $I = cF^2/4\pi$ поправку к сечению упругого рассеяния. Сечения указанных процессов тоже определяются МЭ (7). Так, дифференциальное (по углам рассеянного электрона) сечение вынужденного 2BrS имеет вид

$$\frac{d\sigma}{d\Omega_{\mathbf{p}'}} = \frac{1}{4\pi^2} \left(\frac{F}{2\omega} \right)^4 \frac{p'}{p} |M(\mathbf{e}^*, \mathbf{e}^*, \mathcal{E})|^2, \quad (9)$$

где энергия \mathcal{E} электрона в промежуточном состоянии связана с энергиями в начальном ($E = p^2/2$) и конечном ($E' = p'^2/2$) состояниях соотношением $\mathcal{E} = E - \omega = E' + \omega$. Аналогично, сечение двойного тормозного поглощения дается выражением

$$\frac{d\sigma}{d\Omega_{\mathbf{p}'}} = \frac{1}{4\pi^2} \left(\frac{F}{2\omega} \right)^4 \frac{p'}{p} |M(\mathbf{e}, \mathbf{e}, \mathcal{E})|^2, \quad (10)$$

где $\mathcal{E} = E + \omega = E' - \omega$.

В случае упругого рассеяния ($E' = E$) учет взаимодействия со световой волной в низшем (втором)

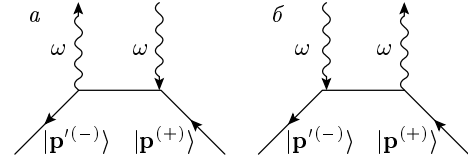


Рис. 1. Диаграммы Фейнмана для процесса переизлучения фотона электроном в континууме

порядке теории возмущений дает линейную по интенсивности волны поправку к амплитуде,

$$f = f_0 + f_2, \quad (11)$$

где f_0 — амплитуда упругого рассеяния на потенциале $U(r)$ в отсутствие световой волны, а

$$f_2 = \frac{1}{2\pi} \left(\frac{F}{2\omega} \right)^2 \times \\ \times [M(\mathbf{e}, \mathbf{e}^*, E - \omega) + M(\mathbf{e}^*, \mathbf{e}, E + \omega)] \quad (12)$$

— поправка, обусловленная индуцированным волной двухфотонным переходом (переизлучением фотона электроном в процессе рассеяния, рис. 1). Поправка порядка F^2 к сечению упругого рассеяния определяется интерференцией амплитуд f_0 и f_2 :

$$\frac{d\sigma}{d\Omega_{\mathbf{p}'}} = |f_0|^2 + 2 \operatorname{Re}(f_0^* f_2). \quad (13)$$

2.2. Парциально-волновое разложение амплитуды

Поскольку \mathbf{e}_1 и \mathbf{e}_2 входят в (7) линейно, то, очевидно, МЭ $M(\mathbf{e}_2, \mathbf{e}_1, \mathcal{E})$ может быть представлен в виде суммы произведений линейно независимых комбинаций векторов \mathbf{e}_1 , \mathbf{e}_2 и \mathbf{n} , \mathbf{n}' (где $\mathbf{n} = \mathbf{p}/p$, $\mathbf{n}' = \mathbf{p}'/p'$) и инвариантных амплитуд \mathcal{P}_i , зависящих только от p , p' , \mathcal{E} и угла θ между \mathbf{n} и \mathbf{n}' . Линейно независимых комбинаций \mathbf{e}_1 , \mathbf{e}_2 и \mathbf{n} , \mathbf{n}' насчитывается пять и, выбирая их определенным образом, $M(\mathbf{e}_2, \mathbf{e}_1, \mathcal{E})$ можно записать в виде

$$M(\mathbf{e}_2, \mathbf{e}_1, \mathcal{E}) = \mathcal{P}_1(\mathbf{e}_2 \cdot \mathbf{n})(\mathbf{e}_1 \cdot \mathbf{n}) + \\ + \mathcal{P}_2(\mathbf{e}_2 \cdot \mathbf{n}')(\mathbf{e}_1 \cdot \mathbf{n}') + \mathcal{P}_3(\mathbf{e}_2 \cdot \mathbf{n})(\mathbf{e}_1 \cdot \mathbf{n}') + \\ + \mathcal{P}_4(\mathbf{e}_2 \cdot \mathbf{n}')(\mathbf{e}_1 \cdot \mathbf{n}) + \mathcal{P}_5(\mathbf{e}_2 \cdot \mathbf{e}_1). \quad (14)$$

Отметим, что именно такую структуру имеют и аналитические выражения амплитуды двухфотонных переходов в кулоновском поле, полученные в [11–13]

без использования парциальных разложений. Явный вид амплитуд $\mathcal{P}_i = \mathcal{P}_i(p, p', \theta, \mathcal{E})$ для произвольного потенциала $U(r)$ может быть получен лишь путем конкретного расчета МЭ (7). Общим способом упрощения выражений типа (7) является использование мультипольных разложений входящих в (7) волновых функций и операторов с последующим интегрированием по угловым переменным методами квантовой теории углового момента [50]. Представим волновые функции и функцию Грина в (7) в виде разложений по сферическим функциям:

$$\psi_{\mathbf{p}}^{(\pm)}(\mathbf{r}) = \frac{(2\pi)^{3/2}}{\sqrt{p}} \times \sum_{lm} i^l \exp(\pm i\delta_l(p)) R_{El}(r) Y_{lm}\left(\frac{\mathbf{r}}{r}\right) Y_{lm}^*(\mathbf{n}), \quad (15)$$

$$G_{\mathcal{E}}(\mathbf{r}, \mathbf{r}') = \sum_{LM} g_L(r, r', \mathcal{E}) Y_{LM}\left(\frac{\mathbf{r}}{r}\right) Y_{LM}^*\left(\frac{\mathbf{r}'}{r'}\right),$$

где $R_{El}(r)$ — нормированные на энергию радиальные функции непрерывного спектра в потенциале $U(r)$, а $\delta_l(p)$ — фазы рассеяния. Подставляя (15) в (7) и выполняя интегрирование по углам и суммирование по проекциям моментов, получаем (ниже используются стандартные обозначения квантовой теории углового момента [50])

$$M(\mathbf{e}_2, \mathbf{e}_1, \mathcal{E}) = -\frac{(2\pi)^3}{\sqrt{pp'}} \sum_{c=0}^2 \sum_{l'l} i^{l+l'} \times \exp[i(\delta_{l'}(p') + \delta_l(p))] \left\{ \begin{matrix} 1 & 1 & c \\ l' & l & L \end{matrix} \right\} \times \langle R_{E'l'} || \nabla g_L \nabla || R_{El} \rangle \times (\{\mathbf{e}_2 \otimes \mathbf{e}_1\}_c \cdot \{Y_{l'}(\mathbf{n}') \otimes Y_l(\mathbf{n})\}_c). \quad (16)$$

Обычно выражения типа (16) рассматриваются как конечный результат аналитических преобразований «геометрической» части амплитуд методами квантовой теории углового момента, а дальнейшие вычисления основаны на численных расчетах тензорных конструкций в (16) в выбранной некоторым подходящим образом системе координат (см., например, работы [30] по одно- и двухфотонному вынужденному излучению и поглощению в линейно-поляризованном поле; отметим, что в указанных работах в качестве конечного состояния в МЭ (2) и (7) автор необоснованно использует функцию $\psi_{\mathbf{p}'}^{(+)}(\mathbf{r})$ с асимптотикой расходящихся волн). В работе [45] (см. также [51]) развита специальная техника для упрощения тензорных произведений сферических функций $Y_{lm}(\mathbf{n})$, основанная на

редукционной формуле для биполярных гармоник $Y_{LM}^{l'l}(\mathbf{n}', \mathbf{n})$, определяемых соотношением

$$Y_{LM}^{l'l}(\mathbf{n}', \mathbf{n}) = \{Y_{l'}(\mathbf{n}') \otimes Y_l(\mathbf{n})\}_{LM} = \sum_{mm'} C_{l'm'lm}^{LM} Y_{l'm'}(\mathbf{n}') Y_{lm}(\mathbf{n}). \quad (17)$$

Указанная техника позволяет представить $Y_{LM}^{l'l}(\mathbf{n}', \mathbf{n})$ с произвольными значениями $l, l' > L$ в виде конечной суммы «минимальных» гармоник $Y_{LM}^{k,L-k}(\mathbf{n}', \mathbf{n})$ с $0 \leq k \leq L$ и полиномов Лежандра. Например, для биполярной гармоники $Y_{2m}^{ll}(\mathbf{n}', \mathbf{n})$ имеем [45]

$$Y_{2m}^{ll}(\mathbf{n}', \mathbf{n}) = \frac{(-1)^{l-1}}{4\pi} \left[\frac{30(2l+1)}{(2l-1)l(l+1)(2l+3)} \right]^{1/2} \times \left(P_l^{(1)}(x) \{\mathbf{n}' \otimes \mathbf{n}\}_{2m} + P_l^{(2)}(x) \{[\mathbf{n}' \times \mathbf{n}] \otimes [\mathbf{n}' \times \mathbf{n}]\}_{2m} \right), \quad (18)$$

где $x = \mathbf{n} \cdot \mathbf{n}' = \cos \theta$, $P_l^{(k)}(x) = (d/dx)^k P_l(x)$. Выражения для остальных биполярных гармоник $Y_{cm}^{l'l}(\mathbf{n}', \mathbf{n})$ с $c = 0, 1, 2$, входящих в (16), также приведены в [45]. Используя их и переписывая возникающие тензорные конструкции вида $(\{\mathbf{e}_2 \otimes \mathbf{e}_1\}_c \cdot \{\mathbf{n}' \otimes \mathbf{n}\}_c)$ через скалярные произведения векторов $\mathbf{e}_1, \mathbf{e}_2$ и \mathbf{n}, \mathbf{n}' [50, гл. 3], выражение (16) для $M(\mathbf{e}_2, \mathbf{e}_1, \mathcal{E})$ приводим к виду (14). Окончательный результат удобно записать в следующем виде:

$$M(\mathbf{e}_2, \mathbf{e}_1, \mathcal{E}) = Q_1 \left[(\mathbf{e}_2 \cdot \mathbf{n})(\mathbf{e}_1 \cdot \mathbf{n}) - \frac{1}{3}(\mathbf{e}_2 \cdot \mathbf{e}_1) \right] + Q_2 \left[(\mathbf{e}_2 \cdot \mathbf{n}')(\mathbf{e}_1 \cdot \mathbf{n}') - \frac{1}{3}(\mathbf{e}_2 \cdot \mathbf{e}_1) \right] + \frac{1}{2} Q_3 \left[(\mathbf{e}_2 \cdot \mathbf{n}')(\mathbf{e}_1 \cdot \mathbf{n}) + (\mathbf{e}_2 \cdot \mathbf{n})(\mathbf{e}_1 \cdot \mathbf{n}') - \frac{2}{3}(\mathbf{n} \cdot \mathbf{n}')(\mathbf{e}_2 \cdot \mathbf{e}_1) \right] + Q_4 [(\mathbf{e}_2 \cdot \mathbf{n}')(\mathbf{e}_1 \cdot \mathbf{n}) - (\mathbf{e}_2 \cdot \mathbf{n})(\mathbf{e}_1 \cdot \mathbf{n}')] + Q_5(\mathbf{e}_2 \cdot \mathbf{e}_1), \quad (19)$$

где

$$\begin{aligned}
 Q_1 &= - \sum_{l=2}^{\infty} \left[\frac{1}{2l+3} (\mathcal{M}_{ll}^{l+1} + \mathcal{M}_{l+2l}^{l+1}) + \right. \\
 &\quad \left. + \frac{1}{2l-1} (\mathcal{M}_{ll}^{l-1} + \mathcal{M}_{l-2l}^{l-1}) \right] P_l^{(2)}(x), \\
 Q_2 &= - \sum_{l=2}^{\infty} \left[\frac{1}{2l+3} (\mathcal{M}_{ll}^{l+1} + \mathcal{M}_{l+2l}^{l+1}) + \right. \\
 &\quad \left. + \frac{1}{2l-1} (\mathcal{M}_{ll}^{l-1} + \mathcal{M}_{l-2l}^{l-1}) \right] P_l^{(2)}(x), \\
 Q_3 &= \sum_{l=1}^{\infty} \left[\frac{1}{2l-1} \mathcal{M}_{ll}^{l-1} + \frac{1}{2l+3} \mathcal{M}_{ll}^{l+1} \right] P_l^{(1)}(x) + \\
 &\quad + 2 \sum_{l=2}^{\infty} \left[\left(\frac{1}{2l-1} \mathcal{M}_{ll}^{l-1} + \frac{1}{2l+3} \mathcal{M}_{ll}^{l+1} \right) x + \right. \\
 &\quad \left. + \frac{1}{2l+1} (\mathcal{M}_{l-1l+1}^l + \mathcal{M}_{l+1l-1}^l) \right] P_l^{(2)}(x), \\
 Q_4 &= \frac{1}{2} \sum_{l=1}^{\infty} [\mathcal{M}_{ll}^{l-1} - \mathcal{M}_{ll}^{l+1}] P_l^{(1)}(x), \\
 Q_5 &= \frac{1}{3} \sum_{l=0}^{\infty} [l \mathcal{M}_{ll}^{l-1} + (l+1) \mathcal{M}_{ll}^{l+1}] P_l(x).
 \end{aligned} \tag{20}$$

В радиальные МЭ $\mathcal{M}_{l'l}^L$ включены фазовые множители из (15):

$$\begin{aligned}
 \mathcal{M}_{l'l}^L &= \left(2\pi^2 / \sqrt{pp'} \right) \times \\
 &\quad \times \exp [i(\delta_{l'}(p') + \delta_l(p))] M_{l'l}^L(E', E, \mathcal{E}),
 \end{aligned}$$

$$\begin{aligned}
 M_{l'l}^L(E', E, \mathcal{E}) &= \\
 &= \langle D(L, l') R_{E'l'} | g_L(\mathcal{E}) | D(L, l) R_{El} \rangle, \tag{21}
 \end{aligned}$$

$$D(l_1, l_2) = \frac{d}{dr} + \frac{\text{sign}(l_2 - l_1) \max(l_1, l_2) + 1}{r}. \tag{22}$$

Формулы (20) в явном виде выражают пять инвариантных параметров Q_i (очевидным образом связанных с \mathcal{P}_i в (14)) через радиальные МЭ. Из (20) непосредственно видны свойства симметрии,

$$Q_1(p, p') = Q_2(p', p), \quad Q_{3,4,5}(p', p) = Q_{3,4,5}(p, p').$$

2.3. Эффекты циркулярного и эллиптического дихроизма в свободно-свободных переходах

Параметризация амплитуды в виде (19), (20) позволяет полностью проанализировать поляризационные и угловые зависимости как в спонтанном 2BrS

(с различными поляризациями \mathbf{e}_1 и \mathbf{e}_2), так и для вынужденных процессов (с $\mathbf{e}_1 = \mathbf{e}_2$). Рассмотрим вначале вынужденное 2BrS (результаты для двойного тормозного поглощения следуют из приведенных ниже формул при замене $\mathbf{e}, \omega \rightarrow \mathbf{e}^*, -\omega$). Полагая в (19) $\mathbf{e}_1 = \mathbf{e}_2 = \mathbf{e}^*$, видим, что в случае вынужденных процессов параметр Q_4 выпадает и для M имеем

$$\begin{aligned}
 M &= Q_1(\mathbf{e}^* \cdot \mathbf{n})^2 + Q_2(\mathbf{e}^* \cdot \mathbf{n}')^2 + \\
 &\quad + Q_3(\mathbf{e}^* \cdot \mathbf{n})(\mathbf{e}^* \cdot \mathbf{n}') + Q(\mathbf{e}^* \cdot \mathbf{e}^*), \tag{23}
 \end{aligned}$$

$$Q = Q_5 - \frac{1}{3}(Q_1 + Q_2 + xQ_3).$$

В результате сечение (9) принимает вид

$$\frac{d\sigma}{d\Omega_{\mathbf{p}'}} = \frac{1}{4\pi^2} \left(\frac{F}{2\omega} \right)^4 \frac{p'}{p} (f_{reg} + \Delta_{CD} + \Delta_{ED}), \tag{24}$$

где

$$\begin{aligned}
 f_{reg} &= |Q_1|^2 |\mathbf{e} \cdot \mathbf{n}|^4 + |Q_2|^2 |\mathbf{e} \cdot \mathbf{n}'|^4 + \\
 &\quad + |Q_3|^2 |\mathbf{e} \cdot \mathbf{n}|^2 |\mathbf{e} \cdot \mathbf{n}'|^2 + l^2 |Q|^2 + \\
 &\quad + 2 \text{Re}(Q_1^* Q_2) \text{Re}\{(\mathbf{e} \cdot \mathbf{n})^2 (\mathbf{e}^* \cdot \mathbf{n}')^2\} + \\
 &\quad + 2 \text{Re}(Q_1^* Q_3) |\mathbf{e} \cdot \mathbf{n}|^2 \text{Re}\{(\mathbf{e} \cdot \mathbf{n})(\mathbf{e}^* \cdot \mathbf{n}')\} + \\
 &\quad + 2l \text{Re}(Q_1^* Q) \text{Re}\{(\mathbf{e} \cdot \mathbf{n})^2\} + \\
 &\quad + 2 \text{Re}(Q_2^* Q_3) |\mathbf{e} \cdot \mathbf{n}'|^2 \text{Re}\{(\mathbf{e} \cdot \mathbf{n}')(\mathbf{e}^* \cdot \mathbf{n})\} + \\
 &\quad + 2l \text{Re}(Q_2^* Q) \text{Re}\{(\mathbf{e} \cdot \mathbf{n}')^2\} + \\
 &\quad + 2l \text{Re}(Q_3^* Q) \text{Re}\{(\mathbf{e} \cdot \mathbf{n})(\mathbf{e} \cdot \mathbf{n}')\}, \tag{25}
 \end{aligned}$$

$$\begin{aligned}
 \Delta_{CD} &= 2 \text{Im}\{(\mathbf{e} \cdot \mathbf{n})(\mathbf{e}^* \cdot \mathbf{n}')\} \left(\text{Im}(Q_2^* Q_3) |\mathbf{e} \cdot \mathbf{n}'|^2 - \right. \\
 &\quad \left. - 2 \text{Im}(Q_1^* Q_2) \text{Re}\{(\mathbf{e} \cdot \mathbf{n})(\mathbf{e}^* \cdot \mathbf{n}')\} - \right. \\
 &\quad \left. - \text{Im}(Q_1^* Q_3) |\mathbf{e} \cdot \mathbf{n}|^2 \right), \tag{26}
 \end{aligned}$$

$$\begin{aligned}
 \Delta_{ED} &= -2l \left(\text{Im}(Q_1^* Q) \text{Im}\{(\mathbf{e} \cdot \mathbf{n})^2\} + \right. \\
 &\quad \left. + \text{Im}(Q_2^* Q) \text{Im}\{(\mathbf{e} \cdot \mathbf{n}')^2\} + \right. \\
 &\quad \left. + \text{Im}(Q_3^* Q) \text{Im}\{(\mathbf{e} \cdot \mathbf{n})(\mathbf{e} \cdot \mathbf{n}')\} \right). \tag{27}
 \end{aligned}$$

Очевидно, что f_{reg} не меняется при замене $\mathbf{e} \rightleftharpoons \mathbf{e}^*$, т.е. не зависит от знака спиральности фотонов. Для анализа Δ_{CD} и Δ_{ED} удобно записать единичный комплексный вектор поляризации в инвариантной (по отношению к выбору системы координат) форме,

$$\mathbf{e} = \frac{\boldsymbol{\epsilon} + i\eta[\mathbf{k} \times \boldsymbol{\epsilon}]}{\sqrt{1 + \eta^2}}, \quad -1 \leq \eta \leq 1, \tag{28}$$

где единичные векторы $\boldsymbol{\epsilon}$ и \mathbf{k} задают направления главной оси эллипса поляризации и распространения волны, а степень эллиптичности η связана со степенями линейной (l) и циркулярной (ξ) поляризации, которые мы определяем как в [3]:

$$l = \frac{1 - \eta^2}{1 + \eta^2} = \mathbf{e} \cdot \mathbf{e} = \mathbf{e}^* \cdot \mathbf{e}^*, \quad \xi = \frac{2\eta}{1 + \eta^2} = i\mathbf{k} \cdot [\mathbf{e}^* \times \mathbf{e}].$$

Используя (28), нетрудно установить соотношения

$$\begin{aligned} 2 \operatorname{Im}\{(\mathbf{e}^* \cdot \mathbf{n})(\mathbf{e} \cdot \mathbf{n}')\} &= \xi(\mathbf{k} \cdot [\mathbf{n} \times \mathbf{n}']), \\ 2 \operatorname{Im}\{(\mathbf{e} \cdot \mathbf{n})(\mathbf{e} \cdot \mathbf{n}')\} &= \xi\{(\boldsymbol{\epsilon} \cdot \mathbf{n})([\mathbf{k} \times \boldsymbol{\epsilon}] \cdot \mathbf{n}') + \\ &+ (\boldsymbol{\epsilon} \cdot \mathbf{n}')([\mathbf{k} \times \boldsymbol{\epsilon}] \cdot \mathbf{n})\}, \end{aligned} \quad (29)$$

так что

$$\Delta_{CD} \sim \xi, \quad \Delta_{ED} \sim \xi l. \quad (30)$$

Из (30) следует, что последние два слагаемых в (24) приводят к зависимости сечения от знака ξ и описывают эффекты CD и ED. При этом Δ_{ED} исчезает при чисто циркулярной ($\xi = \pm 1, l = 0$) поляризации, в то время как CD-член Δ_{CD} в этом случае максимален. Хотя количественные результаты для CD и ED могут быть получены лишь из численных расчетов, характерные особенности этих эффектов видны уже из общих формул (24)–(27). В частности, CD- и ED-слагаемые в (24) существенно различным образом зависят не только от поляризационных параметров волны, но и от геометрии процесса. Так, слагаемое Δ_{CD} содержит общий поляризационно-угловой множитель $\xi(\mathbf{k} \cdot [\mathbf{n} \times \mathbf{n}'])$ (см. (29)) и достигает «геометрического» максимума при распространении световой волны перпендикулярно плоскости рассеяния электрона: $\mathbf{k} \parallel \pm[\mathbf{nn}']$. В этом случае Δ_{CD} имеет вид

$$\begin{aligned} \Delta_{CD} &= \xi \sin \theta \times \\ &\times [2 \operatorname{Im}(Q_1^* Q_2) \cos \theta + \operatorname{Im}(Q_1^* Q_3) - \operatorname{Im}(Q_2^* Q_3)]. \end{aligned} \quad (31)$$

Если же начальный импульс электрона коллинеарен направлению распространения волны ($\mathbf{n} \times \mathbf{k} = 0$), то CD исчезает так же, как и при рассеянии вперед и назад, $\mathbf{n}' = \pm \mathbf{n}$. Отметим, что кинематический фактор $\xi(\mathbf{k} \cdot [\mathbf{a} \times \mathbf{b}])$, определяющий Δ_{CD} , имеет универсальный характер и описывает CD в различных однофотонных процессах с неполяризованными атомами при наличии в задаче двух полярных векторов, \mathbf{a} и \mathbf{b} , например, в обычном и вынужденном однофотонном BrS [4] и в двухэлектронной ионизации атома жестким фотоном [45, 52]. Эллиптический дихроизм возможен лишь в процессах с двумя и более

идентичными фотонами и менее чувствителен к геометрии процесса: в соответствии с (27) для обращения Δ_{ED} в нуль необходимо одновременное выполнение условий $\mathbf{e} \cdot \mathbf{n} = 0$ и $\mathbf{e} \cdot \mathbf{n}' = 0$. Эффект ED «в чистом виде» (без сопутствующего CD) проявляется в угловом распределении рассеянных электронов, когда начальный импульс \mathbf{p} коллинеарен световому пучку, $[\mathbf{k} \times \mathbf{n}] = 0$. В этом случае в (23) остаются лишь слагаемые с Q и Q_2 , а Δ_{ED} имеет простой вид,

$$\begin{aligned} \Delta_{ED} &= -2l \operatorname{Im}(Q_2^* Q) \operatorname{Im}\{(\mathbf{e} \cdot \mathbf{n}')^2\} = \\ &= -2l \xi \operatorname{Im}(Q_2^* Q) (\boldsymbol{\epsilon} \cdot \mathbf{n}') (\mathbf{k} \cdot [\boldsymbol{\epsilon} \times \mathbf{n}']), \end{aligned} \quad (32)$$

и достигает максимума при рассеянии под прямым углом (т. е. в плоскости поляризации) в направлениях, составляющих углы $\pm\pi/4$ и $\pm 3\pi/4$ с направлением главной оси эллипса поляризации.

В отличие от CD, эффект ED сохраняется и в сечении вынужденного 2BrS (или двойного тормозного поглощения), проинтегрированном по направлениям \mathbf{n}' импульса рассеянного электрона. Сечение в этом случае зависит лишь от векторов \mathbf{e} и \mathbf{n} и имеет следующую структуру:

$$\begin{aligned} \sigma &= \frac{1}{4\pi^2} \left(\frac{F}{2\omega} \right)^4 \frac{p'}{p} (A_1 + A_2 l^2 + A_3 l \operatorname{Re}\{(\mathbf{e} \cdot \mathbf{n})^2\} + \\ &+ A_4 l \xi (\boldsymbol{\epsilon} \cdot \mathbf{n}) (\boldsymbol{\epsilon} \cdot [\mathbf{n} \times \mathbf{k}]) + \\ &+ A_5 |\mathbf{e} \cdot \mathbf{n}|^2 + A_6 |\mathbf{e} \cdot \mathbf{n}|^4). \end{aligned} \quad (33)$$

Как видно, ED-член в выражении для σ максимален, когда начальный импульс электрона \mathbf{p} ортогонален направлению светового пучка и составляет угол $\pi/4$ с главной осью эллипса поляризации. Укажем, что в кинематическом отношении выражение (33) полностью аналогично угловому распределению фотоэлектронов при двухфотонной ионизации атома с ненулевым орбитальным моментом в эллиптически-поляризованном поле (поляризационные эффекты и ED в этой задаче проанализированы в [53]). Явные выражения для динамических параметров A_i в (33) через радиальные МЭ (21) можно получить, интегрируя по \mathbf{n}' квадрат модуля амплитуды (16). Для примера мы ограничимся лишь выражением для «дихроичного параметра» A_4 :

$$\begin{aligned} A_4 &= \frac{16\pi^5}{pp'} \sum_{l=0}^{\infty} \operatorname{Im} \left\{ \frac{l(l+1)}{(2l-1)(2l+3)} M_l^{l-1} M_l^{l+1*} + \right. \\ &+ (l M_l^{l-1} + (l+1) M_l^{l+1}) \times \\ &\times \left[\frac{(l+1)(l+2)}{(2l+1)(2l+3)} e^{i(\delta_l(p) - \delta_{l+2}(p))} M_{l+2}^{l+1*} + \right. \\ &\left. \left. + \frac{l(l-1)}{(2l-1)(2l+1)} e^{i(\delta_l(p) - \delta_{l-2}(p))} M_{l-2}^{l-1*} \right] \right\}. \end{aligned}$$

Во всех рассмотренных случаях численное значение дихроичных параметров в сечениях (Δ_{CD} , Δ_{ED} , A_4) определяется в конечном счете соотношением между вещественными и мнимыми частями радиальных МЭ $M_{i'l}^l$, т. е. интерференцией эрмитовых и антиэрмитовых частей амплитуды процесса. Поэтому эффекты дихроизма исчезают в борновской области энергий электрона E и E' , а также в низкочастотном пределе (см. ниже разд. 5, где показано, что в указанных пределах параметры Q_i отличаются друг от друга лишь вещественными множителями, так что $\text{Im}(Q_i^* Q_j) = 0$). В остальных случаях дихроичные члены в сечениях не имеют буквенного параметра малости и (при благоприятной геометрии процесса) относительная величина эффектов дихроизма в сечениях может достигать 100%. Таким образом, в отличие от однофотонных тормозных процессов, в которых возможен лишь эффект CD и сечение для эллиптической поляризации может быть восстановлено из экспериментальных данных для линейной и циркулярной поляризаций, при исследовании двухфотонного тормозного излучения и поглощения наиболее полную информацию о процессе дает только использование световой волны с эллиптической поляризацией.

При анализе поляризационных эффектов в упругом рассеянии следует учесть, что $Q_1 = Q_2$ при $E' = E$, так что поправка к упругому сечению в (13) содержит четыре инвариантных параметра Q_i^{el} :

$$\begin{aligned} \frac{d\sigma}{d\Omega_{\mathbf{p}'}} &= |f_0|^2 + \frac{1}{\pi} \left(\frac{F}{2\omega} \right)^2 \times \\ &\times \left\{ \text{Re}(f_0^* Q_1^{el}) \left(|\mathbf{e} \cdot \mathbf{n}|^2 + |\mathbf{e} \cdot \mathbf{n}'|^2 - 2/3 \right) + \right. \\ &+ \text{Re}(f_0^* Q_2^{el}) \left(\text{Re}\{(\mathbf{e} \cdot \mathbf{n})(\mathbf{e} \cdot \mathbf{n}')\} - (1/3) \cos \theta \right) + \\ &\left. + \text{Re}(f_0^* Q_4^{el}) + \text{Im}(f_0^* Q_3^{el}) \xi(\mathbf{k} \cdot [\mathbf{n} \times \mathbf{n}']) \right\}. \quad (34) \end{aligned}$$

Таким образом, при упругом рассеянии электрона в световом поле возникает лишь эффект CD, который описывается слагаемым с Q_3^{el} и имеет ту же интерференционную природу и кинематическую зависимость, что и CD в случае неупругих процессов, а также при однофотонном рассеянии [4]. Явные выражения для параметров Q_i^{el} , аналогичные (20), приведены ниже (см. (48)).

Ввиду наличия в задаче нескольких векторных параметров, свойства симметрии угловых распределений рассеянных электронов в общем случае эллиптической поляризации фотонов можно устано-

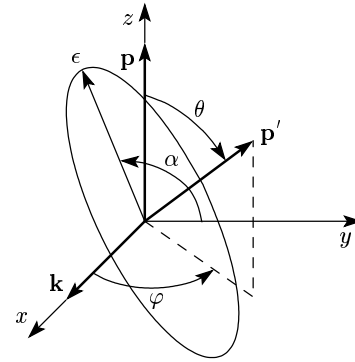


Рис. 2. Геометрия процессов вынужденного тормозного излучения и поглощения: θ и φ — сферические углы вектора импульса рассеянного электрона \mathbf{p}' в системе координат с полярной осью вдоль вектора \mathbf{p} и осью x вдоль направления лазерного пучка \mathbf{k} ; α определяет ориентацию эллипса поляризации в плоскости yz

вить лишь для простейших начальных конфигураций электронного и лазерного пучков. Наиболее информативной и удобной для эксперимента является «ортогональная» геометрия, когда начальный импульс электрона \mathbf{p} (ось z) ортогонален направлению светового пучка (ось x), а главная ось эллипса поляризации составляет угол α с осью y (рис. 2). В этом случае плоскость yz (плоскость поляризации) является плоскостью симметрии углового распределения в общем случае эллиптической поляризации. Поскольку при циркулярной поляризации результаты не зависят от угла α , в отсутствие CD угловое распределение обладало бы и симметрией относительно плоскости xz , т. е. при замене $\varphi \rightarrow -\varphi$. CD-слагаемые разрушают эту симметрию, так как $\xi(\mathbf{k} \cdot [\mathbf{n} \times \mathbf{n}']) = -\xi \sin \theta \sin \varphi$. Тем не менее, как следует из этого соотношения, в циркулярном поле угловые распределения при $\xi = 1$ и $\xi = -1$ переходят друг в друга при отражении относительно плоскости xz (или повороте на 180° вокруг оси z), т. е. сечение $d\sigma/d\Omega$ инвариантно при замене $\xi \rightarrow -\xi$, $\varphi \rightarrow -\varphi$. В эллиптическом поле симметрия понижается и указанная инвариантность сохраняется лишь при значениях угла α кратных $\pi/2$.

Для спонтанного 2BrS экспериментальный интеграл представляет сечение, проинтегрированное по направлениям \mathbf{n}' импульса рассеянного электрона. Общий вид поляризационно-угловой зависимости сечения для этого случая следует из (8), (19) (ср. с (33)):

$$\begin{aligned} \frac{d\sigma^4}{d\Omega_{\mathbf{k}_1} d\Omega_{\mathbf{k}_2} d\omega_1 d\omega_2} = & a_1 + a_2 |\mathbf{e}_1 \cdot \mathbf{e}_2|^2 + a_3 |\mathbf{e}_1 \cdot \mathbf{e}_2^*|^2 + \\ & + a_4 |\mathbf{e}_1 \cdot \mathbf{n}|^2 + a_5 |\mathbf{e}_2 \cdot \mathbf{n}|^2 + \\ & + a_6 |\mathbf{e}_1 \cdot \mathbf{n}|^2 |\mathbf{e}_2 \cdot \mathbf{n}|^2 + a_7 \operatorname{Re} I_1 + \\ & + a_8 \operatorname{Re} I_2 + a_9 \operatorname{Im} I_1 + a_{10} \operatorname{Im} I_2, \end{aligned} \quad (35)$$

где

$$\begin{aligned} I_1 &= (\mathbf{e}_1 \cdot \mathbf{n})(\mathbf{e}_2 \cdot \mathbf{n})(\mathbf{e}_1^* \cdot \mathbf{e}_2^*), \\ I_2 &= (\mathbf{e}_1 \cdot \mathbf{n})(\mathbf{e}_2^* \cdot \mathbf{n})(\mathbf{e}_1^* \cdot \mathbf{e}_2). \end{aligned}$$

Опуская громоздкие выражения для коэффициентов a_i через радиальные МЭ, укажем, что факторы $\operatorname{Im} I_1$ и $\operatorname{Im} I_2$ в последних двух слагаемых в (35) меняют знак при одновременной замене векторов поляризации на комплексно-сопряженные: $\mathbf{e}_1 \rightleftharpoons \mathbf{e}_1^*$, $\mathbf{e}_2 \rightleftharpoons \mathbf{e}_2^*$, поэтому сечение содержит линейные по ξ_1 и ξ_2 слагаемые и зависит от знака степени циркулярной поляризации фотонов. Таким образом, эффект CD в спонтанном 2ВS сохраняется и при интегрировании по \mathbf{n}' . Комплексные величины I_1 и I_2 можно выразить через вещественные векторы $\boldsymbol{\epsilon}_i$ и \mathbf{k}_i при любых поляризациях $\mathbf{e}_1, \mathbf{e}_2$ (такие выражения можно найти в [54]), однако для наблюдения CD наиболее интересен случай, когда один из фотонов поляризован линейно, скажем $\mathbf{e}_2 = \mathbf{e}_2^* \equiv \boldsymbol{\epsilon}_2$. Тогда $I_1 = I_2 \equiv I$ и кинематическая зависимость CD-слагаемого в (35) дается выражением

$$2 \operatorname{Im} I = \xi_1 (\boldsymbol{\epsilon}_2 \cdot \mathbf{n}) (\boldsymbol{\epsilon}_2 \cdot [\mathbf{n} \times \mathbf{k}_1]).$$

Это выражение имеет максимум при «ортогональной» геометрии ($\mathbf{k}_1 \perp \mathbf{n}$, $\mathbf{k}_2 = -\mathbf{k}_1$), использованной в экспериментах [8], когда тормозные фотоны регистрируются в противоположных направлениях перпендикулярно падающему электронному пучку. С помощью поляризационно-чувствительных детекторов эффект CD в указанных экспериментах может наблюдаться по измерению разности выхода фотонов с правой и левой циркулярными поляризациями при фиксированной линейной поляризации второго фотона под углом $\pi/4$ к плоскости векторов \mathbf{n} , $\mathbf{k}_1, \mathbf{k}_2$.

При рассеянии электрона на свободно ориентированном атоме с ненулевым полным угловым моментом поляризационная структура сечений двухфотонных тормозных процессов заметно усложняется. Действительно, в этом случае лишь сечение процесса (но не амплитуда) является скаляром, который может быть представлен в виде комбинации скалярных и смешанных произведений векторов поляризации фотонов и импульсов электрона, \mathbf{p} и \mathbf{p}' .

Соответственно, число слагаемых в сечении, которые определяются линейно независимыми поляризационно-угловыми множителями, значительно увеличивается. Тем не менее общее выражение для сечения в векторной форме, а также явные выражения для дихроичных слагаемых в записи через приведенные МЭ оператора импульса могут быть получены аналогично случаю потенциального рассеяния.

3. КУЛОНОВСКИЕ ДВУХФОТОННЫЕ РАДИАЛЬНЫЕ МАТРИЧНЫЕ ЭЛЕМЕНТЫ

Формулы (20) выражают параметры Q_i через радиальные МЭ $M_{l'l}^L(E', E, \mathcal{E})$ переходов между состояниями континуума с фиксированными значениями орбитального момента в потенциале $U(r)$. В соответствии с дипольными правилами отбора в выражениях (20) возникают МЭ следующих четырех видов:

$$\begin{aligned} M_{l'l}^{l+1}(E', E, \mathcal{E}) &= \\ &= \langle D(l+1, l) R_{E'l} | g_{l+1}(\mathcal{E}) | D(l+1, l) R_{El} \rangle, \\ M_{l+2, l+2}^{l+1}(E', E, \mathcal{E}) &= \\ &= \langle D(l+1, l+2) R_{E'l+2} | g_{l+1}(\mathcal{E}) | \times \\ &\times D(l+1, l+2) R_{El+2} \rangle, \quad (36) \\ M_{l+2, l}^{l+1}(E', E, \mathcal{E}) &= \\ &= \langle D(l+1, l+2) R_{E'l+2} | g_{l+1}(\mathcal{E}) | D(l+1, l) R_{El} \rangle, \\ M_{l, l+2}^{l+1}(E', E, \mathcal{E}) &= \\ &= \langle D(l+1, l) R_{E'l} | g_{l+1}(\mathcal{E}) | D(l+1, l+2) R_{El+2} \rangle. \end{aligned}$$

Как видно из определения,

$$M_{l, l+2}^{l+1}(E', E, \mathcal{E}) = M_{l+2, l}^{l+1}(E, E', \mathcal{E}),$$

так что достаточно вычислить лишь M_{ll}^{l+1} , $M_{l+2, l+2}^{l+1}$ и $M_{l+2, l}^{l+1}$.

В случае кулоновского потенциала $U(r) = -Z/r$ МЭ $M_{l'l}^L$ вычисляются в замкнутом аналитическом виде. Как показано в Приложении А, каждый из МЭ $M_{l'l}^L$ может быть записан в виде суммы шести слагаемых, два из которых содержат дипольные МЭ первого порядка,

$$d_{l'l}(E', E) = \langle R_{E'l'} | D(l', l) | R_{El} \rangle, \quad l' = l \pm 1, \quad (37)$$

а остальные четыре включают интегральные члены $J^{mm'}$ (А.4) с $m, m' = 0, 1$:

$$\begin{aligned}
 M_{ll}^{l+1}(E', E, \mathcal{E}) &= \frac{p}{E - \mathcal{E}} \frac{l+1-ia}{|l+1-ia|} d_{ll+1}(E', E) - \\
 &- \frac{p'}{E' - \mathcal{E}} \frac{l+1-ia'}{|l+1-ia'|} d_{l+1l}(E', E) + \\
 &+ \frac{2^{2l+2} Z^2 (pp')^l}{[(2l+3)!]^2} C_{El} C_{E'l} [(l+2+ia')(l+2+ia)J^{00} + \\
 &+ (l+2+ia')(l+1-ia)J^{01} + \\
 &+ (l+1-ia')(l+2+ia)J^{10} + \\
 &+ (l+1-ia')(l+1-ia)J^{11}], \quad (38)
 \end{aligned}$$

$$\begin{aligned}
 M_{l+2l+2}^{l+1}(E', E, \mathcal{E}) &= \\
 &= -\frac{p}{E - \mathcal{E}} \frac{|l+2-ia|}{l+2-ia} d_{l+2l+1}(E', E) + \\
 &+ \frac{p'}{E' - \mathcal{E}} \frac{|l+2-ia'|}{l+2-ia'} d_{l+1l+2}(E', E) + \\
 &+ \frac{2^{2l+2} Z^2 (pp')^l}{[(2l+3)!]^2 (l+2-ia)(l+2-ia')} C_{El+2} C_{E'l+2} \times \\
 &\times [J^{00} - J^{01} - J^{10} + J^{11}], \quad (39)
 \end{aligned}$$

$$\begin{aligned}
 M_{l+2l}^{l+1}(E', E, \mathcal{E}) &= \frac{p}{E - \mathcal{E}} \frac{l+1-ia}{|l+1-ia|} d_{l+2l+1}(E', E) + \\
 &+ \frac{p'}{E' - \mathcal{E}} \frac{|l+2-ia'|}{l+2-ia'} d_{l+1l}(E', E) + \\
 &+ \frac{2^{2l+2} Z^2 (pp')^l}{[(2l+3)!]^2 (l+2-ia')} \times \\
 &\times C_{El} C_{E'l+2} [(l+2+ia)J^{00} + (l+1-ia)J^{01} - \\
 &-(l+2+ia)J^{10} - (l+1-ia)J^{11}]. \quad (40)
 \end{aligned}$$

Здесь $a = Z/p$ — стандартный кулоновский параметр, а C_{El} — нормировочный множитель для состояния континуума $R_{El}(r)$:

$$C_{El} = \sqrt{\frac{2p}{\pi}} \exp(\pi a/2) |\Gamma(l+1-ia)|.$$

МЭ d_{ll} удовлетворяют соотношениям симметрии

$$d_{ll+1}(E', E) = -d_{l+1l}(E, E'),$$

$$d_{l+2l+1}(E', E) = -d_{l+1l+2}(E, E'),$$

и выражаются явным образом (см. Приложение А) через функции ${}_2F_1$ (ср. с выражением для МЭ однофотонного перехода с оператором взаимодействия в «форме длины» [55]):

$$\begin{aligned}
 d_{l+1l}(E', E) &= -\frac{2^{2l+2} Z p'^{l+1} p^l}{[(2l+3)!]^2} \times \\
 &\times C_{E'l+1} C_{El} [(l+2+ia)I^{10} + (l+1-ia)I^{11}], \quad (41)
 \end{aligned}$$

$$\begin{aligned}
 d_{l+1l+2}(E', E) &= -\frac{2^{2l+2} Z p'^{l+1} p^l}{[(2l+3)!]^2 (l+2-ia)} \times \\
 &\times C_{E'l+1} C_{El+2} (I^{10} - I^{11}),
 \end{aligned}$$

где

$$\begin{aligned}
 I^{m'm}(E', E) &= (-1)^l (2l+3)! \times \\
 &\times \frac{(p-p'+i0)^{-l-1-m'+ia'} (p'-p+i0)^{-l-1-m+ia}}{(p+p')^{2+ia'+ia-m'-m}} \times \\
 &\times {}_2F_1(l+1+m'-ia', l+1+m-ia, 2l+4, \lambda_0), \quad (42)
 \end{aligned}$$

где $\lambda_0 = -4pp'/(p-p')^2$.

Выражение (А.4) для $J^{m'm}$ удается записать лишь в виде одномерного интеграла от функции ${}_2F_1$ с теми же параметрами, что и в (42):

$$J^{m'm}(E', E, \mathcal{E}) = 2^{2l+4} (2l+3)! \nu^{2l+5} \int_0^1 dt \frac{t^{l+1-Z\nu} {}_2F_1(l+1+m'-ia', l+1+m-ia, 2l+4; \lambda)}{A^{l+1+m-ia} B^{l+1+m'-ia'} C^{2-m'-m+ia'+ia}}, \quad (43)$$

где $\nu = 1/\sqrt{-2\mathcal{E}}$, $\lambda = (16pp'|\nu|^2 t)/AB$,

$$\begin{aligned}
 A &= (1-p|\nu|+i0)(1+p'|\nu|+i0) - t(1+p|\nu|-i0)(1-p'|\nu|-i0), \\
 B &= (1+p|\nu|+i0)(1-p'|\nu|+i0) - t(1-p|\nu|-i0)(1+p'|\nu|-i0), \\
 C &= (1+p|\nu|+i0)(1+p'|\nu|+i0) - t(1-p|\nu|-i0)(1-p'|\nu|-i0).
 \end{aligned} \quad (44)$$

Формулы (43), (44) записаны в предположении, что энергия промежуточного состояния положительна: $\mathcal{E} > 0$. Если $\mathcal{E} < 0$ (такой случай реализуется в упругом рассеянии при переизлучении фотона с $\omega > E$), то параметр $\nu = 1/\sqrt{-2\mathcal{E}}$ является вещественным и в (43), (44) следует заменить $|\nu| \rightarrow -i\nu$. Бесконечно малые добавки $\pm i0$ в (42), (44), определяющие правила возведения в степень отрицательных величин, возникают в результате регуляризации интегралов (А.3) и (А.4) с осциллирующими функциями. Как видно, выражения (38)–(40) содержат слагаемые двух типов — гипергеометрические функции ${}_2F_1$ и интегралы от ${}_2F_1$. Сравнительно простые «внеинтегральные» члены дают доминирующий вклад в $M_{\nu l}^L(E', E, \mathcal{E})$ в ряде областей значений переменных (см. разд. 5) и, в частности, содержат борновский предел, поскольку слагаемые с интегралами $J^{m'm}$ имеют лишний множитель Z .

Несмотря на громоздкость, типичную для аналитических расчетов с кулоновскими функциями континуума, формулы (38)–(40), (43), по-видимому, не могут быть подвергнуты дальнейшим упрощениям и являются наиболее простыми выражениями, обобщающими кулоновские матричные элементы типа (41), (42) для однофотонных тормозных процессов на случай двухфотонных свободно-свободных переходов. В то же время следующие из них при аналитическом продолжении по E и E' выражения для МЭ связанны-связанных и связанны-свободных переходов упрощаются и сводятся к двухфотонным формулам Гордона [49], не содержащим интегрирований. Соответствующие преобразования см. в Приложении Б.

4. УСТРАНЕНИЕ СИНГУЛЯРНОСТЕЙ В АМПЛИТУДЕ УПРУГИХ ДВУХФОТОННЫХ ПЕРЕХОДОВ

Упругие двухфотонные переходы в непрерывном спектре требуют особого рассмотрения ввиду расходимости радиальных МЭ дипольных переходов между состояниями континуума с одинаковой энергией уже в однофотонном случае. В двухфотонных переходах ситуация аналогична: из выражений (42) и (43) видно, что при $E' \rightarrow E$ ($p' \rightarrow p$) все МЭ $M_{\nu l}^L$ расходятся. Причину расходимости легко понять, рассмотрев асимптотику радиальной кулоновской функции Грина, проинтегрированной с волно-

вой функцией континуума:

$$\int_0^\infty dr' r'^2 g_L(\mathcal{E}; r, r') \left(\frac{d}{dr'} + \frac{A}{r'} \right) \times \\ \times R_{El}(r') \xrightarrow{r \rightarrow \infty} C_1 r^{Z\nu-1} e^{-r/\nu} + \\ + \frac{C_2}{r} \cos \left(pr + \frac{Z}{p} \ln(2pr) - \frac{\pi}{2} l + \delta_l(p) \right),$$

где A, C_1, C_2 — постоянные. Наличие в асимптотике второго слагаемого, осциллирующего с той же частотой, что и волновая функция $R_{El}(r)$, и приводит к расходимости $M_{\nu l}^L(E', E, \mathcal{E})$ при $E' \rightarrow E$ как в случае кулоновского потенциала, так и при $Z = 0$. Поскольку сечения упругих процессов являются конечными, сингулярности в $M_{\nu l}^L$ должны компенсироваться при вычислении предела $E' \rightarrow E$ в сумме

$$M(\mathbf{e}^*, \mathbf{e}, E + \omega) + M(\mathbf{e}, \mathbf{e}^*, E - \omega'), \quad (45)$$

определяющей полную амплитуду перехода f_2 в (12). Первое слагаемое в (45) соответствует процессу поглощения фотона с последующим его испусканием (см. рис. 1а), а второе — обратному процессу (см. рис. 1б). Величины ω, ω' в (45) связаны соотношением $\omega - \omega' = E' - E$.

Из выражения (19) для $M(\mathbf{e}^*, \mathbf{e}, \mathcal{E})$ следует, что при перестановке \mathbf{e} и \mathbf{e}^* поляризационно-угловой множитель при параметре Q_4 меняет знак, а знаки при остальных Q_i не меняются. Отсюда ясно, что сингулярности при $E' \rightarrow E$ должны компенсироваться в следующих комбинациях МЭ:

$$S_{\nu l}^L = \lim_{E' \rightarrow E} [M_{\nu l}^L(E', E, E + \omega) + \\ + M_{\nu l}^L(E', E, E - \omega')], \quad (46)$$

$$R_l(\mathcal{E}) = \lim_{E' \rightarrow E} [M_{ll}^{l-1}(E', E, \mathcal{E}) - \\ - M_{ll}^{l+1}(E', E, \mathcal{E})], \quad (47)$$

через которые и выражаются параметры Q_i^{el} упругих переходов в формуле (34):

$$Q_1^{el} = - \sum_{l=2}^\infty \left[\frac{1}{2l+3} (S_{ll}^{l+1} + S_{l+2l}^{l+1}) + \right. \\ \left. + \frac{1}{2l-1} (S_{ll}^{l-1} + S_{l-2l}^{l-1}) \right] P_l^{(2)}(x),$$

$$Q_2^{el} = \sum_{l=1}^{\infty} \left[\frac{1}{2l-1} S_{ll}^{l-1} + \frac{1}{2l+3} S_{ll}^{l+1} \right] P_l^{(1)}(x) + 2 \sum_{l=2}^{\infty} \left[\left(\frac{1}{2l-1} S_{ll}^{l-1} + \frac{1}{2l+3} S_{ll}^{l+1} \right) x + \frac{1}{2l+1} (S_{l-1,l+1}^l + S_{l+1,l-1}^l) \right] P_l^{(2)}(x), \quad (48)$$

$$Q_3^{el} = \sum_{l=1}^{\infty} [\mathcal{R}_l(E + \omega) - \mathcal{R}_l(E - \omega)] P_l^{(1)}(x),$$

$$Q_4^{el} = \frac{1}{3} \sum_{l=0}^{\infty} [l S_{ll}^{l-1} + (l+1) S_{ll}^{l+1}] P_l(x),$$

где

$$S_{ll}^l = (2\pi^2/p) \exp[i(\delta_l(p) + \delta_l(p))] S_{ll}^l,$$

$$\mathcal{R}_l(\mathcal{E}) = (\pi^2/p) \exp[2i\delta_l(p)] R_l(\mathcal{E}).$$

Чтобы убедиться в компенсации расходящихся и найти пределы выражений (46), (47), следует выделить в явном виде расходящуюся и конечную части МЭ M_{ll}^l . Мы проиллюстрируем соответствующие результаты, используя аналитические выражения (38)–(40) для кулоновского потенциала. Для внеинтегральных слагаемых это легко достигается путем известного асимптотического разложения функции ${}_2F_1$ по обратным степеням аргумента [56]. Выделение сингулярностей из $J^{m'm}$ в (38)–(40) требует более сложных преобразований. Прежде всего отметим (см. (43)), что интегралы J^{00} и J^{11} являются конечными при $E' = E$, а J^{01} и J^{10} расходятся как $\ln(E' - E)$. Наличие лишь логарифмической сингулярности позволяет в коэффициентах интегральных членов в (38)–(40) и в интеграле (43) положить $E' = E$ везде, кроме факторов A и B . Далее, с использованием техники выделения сингулярностей, описанной в [13], диагональные МЭ можно представить в виде

$$M_{l+2l+2}^{l+1}(E', E, \mathcal{E}) = -\frac{a}{\pi} \frac{1}{E - \mathcal{E}} \times \left(\ln \left(\frac{p-p'}{2p} \right)^2 - 2\psi(1) \right) + \frac{1}{E - \mathcal{E}} \frac{a}{\pi(l+2-ia)} \times \left(\frac{2\mathcal{E}}{E - \mathcal{E}} + ia\psi(l+1-ia) + ia\psi(l+2-ia) + 2ia\psi(l+3+ia) - 2(l+2+ia) \operatorname{Re} \psi(l+2-ia) \right) + Z^2 \frac{2^{2l+2} p^{2l}}{((2l+3)!)^2} \frac{C_{El+2}^2}{(l+2-ia)^2} [J^{00} + J^{11} - K], \quad (49)$$

$$M_{ll}^{l+1}(E', E, \mathcal{E}) = -\frac{a}{\pi} \frac{1}{E - \mathcal{E}} \times \left(\ln \left(\frac{p-p'}{2p} \right)^2 - 2\psi(1) \right) + \frac{1}{E - \mathcal{E}} \frac{a}{\pi(l+1+ia)} \left(-\frac{2\mathcal{E}}{E - \mathcal{E}} + \frac{ia}{l+1-ia} + \frac{ia}{l+2+ia} - ia\psi(l+1-ia) - ia\psi(l+2-ia) - 2ia\psi(l+3+ia) - 2(l+1-ia) \operatorname{Re} \psi(l+2-ia) \right) + Z^2 \frac{2^{2l+2} p^{2l}}{((2l+3)!)^2} C_{El}^2 [(l+2+ia)^2 J^{00} + (l+1-ia)^2 J^{11} + (l+1-ia)(l+2+ia)K], \quad (50)$$

где K — регулярная часть суммы $J^{01} + J^{10}$:

$$K = -\frac{2^{2l+4} (2l+3)! \nu^{2l+5}}{(1-p^2|\nu|^2)(l+1-ia)} \times \int_0^1 dt \frac{t^{l-Z\nu}}{A^{2l+2-2ia} C^{1+2ia}} \times \left[\left(ia(1-p|\nu|) + \frac{t}{C} (1+2ia)(1-p|\nu|)^2 \right) \times {}_2F_1(l+1-ia, l+1-ia, 2l+4, \lambda) + (l+1-ia) {}_2F_1(l+1-ia, l+2-ia, 2l+4, \lambda) \right], \quad (51)$$

$\psi(x) = (d/dx) \ln \Gamma(x)$ — пси-функция. Интегралы J^{mm} в (49) и (50) определяются выражением (43) с $p' = p$. При этом

$$A = B = (1-p^2|\nu|^2)(1-t) + i0, \quad C = (1+p|\nu|)^2 - t(1-p|\nu|)^2, \quad \lambda = \frac{16p^2|\nu|^2 t}{A^2}. \quad (52)$$

Учитывая, что $E - \mathcal{E} = -\omega$ для диаграммы на рис. 1а и $E - \mathcal{E} = \omega'$ для диаграммы на рис. 1б, а сингулярные члены в (49), (50) одинаковы и не зависят от l , легко видеть, что при вычислении $R_l(\mathcal{E})$ в (47) и диагональных элементов S_{ll}^l в (46) расходящиеся компенсируются и окончательные результаты очевидны из (49) и (50).

Недиагональные МЭ наряду с логарифмической содержат степенную сингулярность, так что их сингулярная часть имеет вид

$$[M_{l+2l}^{l+1}(E', E, \mathcal{E})]_{sing} = \frac{a}{\pi|l+1-ia||l+2+ia|} \times \left(\frac{l+1-ia}{E - \mathcal{E}} + \frac{l+2+ia}{E' - \mathcal{E}} \right) \frac{p}{p-p'} + \left(\frac{C(E, l)}{E - \mathcal{E}} + \frac{C(E', l)}{E' - \mathcal{E}} \right) \ln \left(\frac{p-p'}{2p} \right)^2. \quad (53)$$

При вычислении предела $E' \rightarrow E$ в сумме (46) с $l' = l + 2$ члены с логарифмическими сингулярностями исчезают, а члены со степенными сингулярностями дают конечный вклад. В результате окончательное выражение для S_{l+2l}^{l+1} принимает вид

$$S_{l+2l}^{l+1} = \frac{Zp(1+2ia)}{\pi|l+1-ia||l+2+ia|\omega^2} + \frac{Z^2 2^{2l+2} p^{2l}}{[(2l+3)!]^2 (l+2-ia)} \times \left[(l+2+ia)(J^{00}(E+\omega) + J^{00}(E-\omega)) - (l+1-ia)(J^{11}(E+\omega) + J^{11}(E-\omega)) - (1/2+ia)(K(E+\omega) + K(E-\omega)) \right]. \quad (54)$$

Функции ${}_2F_1$ в подынтегральных выражениях в интегралах $J^{mm'}$ и K , входящих в (49), (50) и (54), имеют при $\lambda = 1$ точку ветвления, лежащую на контуре интегрирования. Выбор нужной аналитической ветви определяется мнимой добавкой в выражении (52) для A . Выражения (49), (50) и (54) полностью определяют амплитуду f_2 в (12) и сечение (34) упругих двухфотонных переходов в кулоновском поле.

5. АСИМПТОТИЧЕСКИЙ АНАЛИЗ АМПЛИТУД НЕУПРУГИХ ДВУХФОТОННЫХ ПЕРЕХОДОВ

Парциально-волновой подход дает выражения для параметров $Q_i(p, p', \theta)$ лишь в виде рядов по полиномам Лежандра, причем входящие в эти ряды радиальные МЭ вычисляются аналитически только в кулоновском случае. Тем не менее для ряда предельных областей параметров задачи, рассмотренных ниже, можно получить достаточно простые замкнутые выражения для Q_i и амплитуд переходов в потенциале $U(r)$ общего вида.

5.1. Низкочастотный предел ($\omega/p^2 \ll 1$)

Рассмотрим вначале МЭ первого порядка, $d_{l'l}(E', E)$ (37). Поскольку при $E' \rightarrow E$ частоты осцилляций волновых функций начального и конечного состояний сближаются, радиальный интеграл в (37) расходится на бесконечности. Заменяя волновые функции их асимптотическими выражениями при $r \rightarrow \infty$,

$$R_{El} \rightarrow \sqrt{\frac{2p}{\pi}} \sin\left(pr - \frac{1}{2}\pi l + \delta_l(p)\right), \quad (55)$$

и оставляя в (37) лишь главные по $1/r$ члены, получаем

$$d_{l'l} = -\frac{p}{\pi} \operatorname{Re} \left(\frac{\exp(-i\Delta_{l'l}(E))}{E' - E + i0} \right) = p \sin \Delta_{l'l}(E) \delta(E' - E) + \frac{p}{\pi} \frac{\cos \Delta_{l'l}(E)}{E' - E}, \quad (56)$$

где $\Delta_{l'l}(E) = \delta_l(p) - \delta_{l'}(p) - (\pi/2)(l - l')$. Наличие δ -функции в МЭ свободно-свободных переходов и способ нахождения их асимптотики хорошо известны [57, §21]. В реальных однофотонных переходах между состояниями континуума (с $E' \neq E$) сингулярный член выпадает, однако в составных МЭ по энергиям виртуальных состояний проводится интегрирование и δ -слагаемое в $d_{l'l}$ играет существенную роль. Вопросы, связанные с его учетом в численных и аналитических расчетах, неоднократно рассматривались в литературе [14, 58–62].

Рассмотрим теперь низкочастотный предел МЭ второго порядка $M_{l'l}^L(E', E, \mathcal{E})$ с $\mathcal{E} = E \pm \omega$ и $E' = \mathcal{E} \pm \omega'$. Используя для функции Грина в (21) спектральное разложение, представим $M_{l'l}^L$ в виде

$$M_{l'l}^L(E', E, \mathcal{E}) = -\sum_n \frac{d_{l'L}(E', E_n) d_{Ll}(E_n, E)}{E_n - \mathcal{E}} - \int d\epsilon \frac{d_{l'L}(E', \epsilon) d_{Ll}(\epsilon, E)}{\epsilon - \mathcal{E} - i0}, \quad (57)$$

где суммирование проводится по состояниям дискретного, а интегрирование — по состояниям непрерывного спектра гамильтониана с потенциалом $U(r)$. В области малых частот два члена в (57) имеют разную величину: нетрудно проверить, что сумма по дискретному спектру дает конечный результат при $\omega, \omega' \rightarrow 0$, в то время как интеграл имеет порядок $1/\omega\omega'$ в соответствии с общим характером частотной зависимости амплитуды рассеяния, сопровождающегося излучением мягких фотонов [3]. Оказывается, что главный вклад в интеграл в (57), приводящий к упомянутой выше сингулярности при $\omega, \omega' \rightarrow 0$, обусловлен δ -образными слагаемыми в подынтегральной функции, наличие которых следует из (56) и известного соотношения

$$\frac{1}{\epsilon - \mathcal{E} - i0} = \text{V.п.} \frac{1}{\epsilon - \mathcal{E}} + i\pi\delta(\epsilon - \mathcal{E}). \quad (58)$$

Опуская в (57) сумму по дискретному спектру и учитывая в интеграле только вклад точек $\epsilon = E, E', \mathcal{E}$,

получаем для $M_{l'l}^L$ следующее промежуточное выражение:

$$M_{l'l}^L = p' \sin \Delta_{l'L}(E') \frac{1}{E' - \mathcal{E}} d_{Ll}(E', E) + p \sin \Delta_{Ll}(E) \frac{1}{E - \mathcal{E}} d_{l'L}(E', E) - i \pi d_{l'L}(E', \mathcal{E}) d_{Ll}(\mathcal{E}, E). \quad (59)$$

Заменяя МЭ $d_{l_2 l_1}(E_2, E_1)$ их предельными выражениями при $E_2 \rightarrow E_1$ (второе слагаемое в (56)) и сохраняя лишь главный член асимптотики при $\omega, \omega' \rightarrow 0$, получаем

$$M_{l'l}^L = \frac{p^2}{\pi} \frac{\sin \Delta_{l'L}(E) \cos \Delta_{Ll}(E)}{(E' - \mathcal{E})(E' - E)} + \frac{p^2 \cos \Delta_{l'L}(E) \sin \Delta_{Ll}(E)}{\pi (E - \mathcal{E})(E' - E)} - i \frac{p^2 \cos \Delta_{l'L}(E) \cos \Delta_{Ll}(E)}{\pi (E' - \mathcal{E})(\mathcal{E} - E)}. \quad (60)$$

В низкочастотном пределе можно не только упростить парциальные МЭ, но и просуммировать в общем виде ряды в (20) для параметров Q_i . Рассмотрим для определенности процесс вынужденного 2BrS: $\mathbf{e}_1 = \mathbf{e}_2 = \mathbf{e}^*$, $\mathcal{E} = E - \omega$, $E' = E - 2\omega$. Тогда (60) приводит к следующим выражениям для $M_{l'l}^L$:

$$\begin{aligned} M_{ll}^{l+1} &= \frac{\pi p}{i\omega^2} \left(e^{2i\delta_l(p)} - e^{2i\delta_{l+1}(p)} \right), \\ M_{ll}^{l-1} &= \frac{\pi p}{i\omega^2} \left(e^{2i\delta_l(p)} - e^{2i\delta_{l-1}(p)} \right), \\ M_{l+2l}^{l+1} &= \frac{\pi p}{2i\omega^2} \left(2e^{2i\delta_{l+1}(p)} - e^{2i\delta_{l+2}(p)} - e^{2i\delta_l(p)} \right). \end{aligned} \quad (61)$$

Подставляя (61) в (20) и используя рекуррентное соотношение для производных полинома Лежандра [56], параметр Q_1 представим в виде

$$Q_1 = \frac{\pi p}{2i\omega^2} \sum_{l=0}^{\infty} (2l+1) P_l(x) e^{2i\delta_l(p)}.$$

Учитывая теперь известное соотношение для амплитуды f_0 упругого рассеяния в поле $U(r)$ [57],

$$f_0(\theta) = \frac{1}{2ip} \sum_l (2l+1) P_l(\cos \theta) e^{2i\delta_l(p)}, \quad (62)$$

Q_1 выразим через f_0 :

$$Q_1 = \frac{\pi p^2}{\omega^2} f_0.$$

Аналогичным образом с помощью подходящих рекуррентных соотношений для $P_k^{(m)}(x)$ можно выразить через f_0 остальные параметры Q_i в (20) и установить, что

$$Q_2 = Q_1, \quad Q_3 = -2Q_1, \quad Q_5 = \frac{2}{3}(1 - \cos \theta)Q_1.$$

В результате для амплитуды 2BrS $M(\mathbf{e}^*, \mathbf{e}^*, E - \omega)$ в (19) получаем

$$M = \frac{\pi p^2}{\omega^2} f_0 (\mathbf{e}^* \cdot (\mathbf{n} - \mathbf{n}'))^2, \quad (63)$$

а низкочастотная асимптотика сечения (см. (9)) имеет вид

$$d\sigma = \frac{F^4}{2^6 \omega^8} |\mathbf{e} \cdot (\mathbf{p} - \mathbf{p}')|^4 d\sigma_0. \quad (64)$$

Этот же результат следует из формулы Кролла–Ватсона (выражение (6) с $d\sigma_B \rightarrow d\sigma_0 = |f_0|^2 d\Omega$), если в последней перейти к случаю малой напряженности поля F .

Приведем в справочных целях низкочастотные асимптотические выражения для парциальных МЭ (61) 2BrS в кулоновском поле. В этом случае

$$e^{i\delta_l(p)} = \frac{\Gamma(l+1-ia)}{|\Gamma(l+1-ia)|}, \quad (65)$$

так что из (61) получаем

$$\begin{aligned} M_{ll}^{l+1} &= \frac{Zp}{\pi\omega^2} \frac{l+1-ia}{(l+1)^2+a^2}, \\ M_{l+2l+2}^{l+1} &= -\frac{Zp}{\pi\omega^2} \frac{l+2+ia}{(l+2)^2+a^2}, \\ M_{l+2l}^{l+1} &= -\frac{Zp}{\pi\omega^2} \frac{1/2+ia}{|(l+1-ia)(l+2-ia)|}. \end{aligned} \quad (66)$$

Выше рассматривался случай произвольного потенциала $U(r)$ (изложенный общий способ оценки МЭ в области малых частот был использован ранее [62]), однако поведение кулоновских амплитуд в области малых частот можно исследовать и исходя из точных выражений, полученных в разд. 3. Разлагая функции ${}_2F_1$ в выражении для $M_{l'l}^L$ по обратным степеням аргумента и удерживая главный по $1/\omega$ член, приходим к результатам, в точности совпадающим с (66). При этом оказывается, что вклад в главный член асимптотики дают лишь внеинтегральные слагаемые. Формула (59), учитывающая вклад только δ -образных сингулярностей в составном МЭ и возникшая в наших вычислениях как промежуточная, была аналогичным способом получена Королем [14] и использовалась для приближенного расчета кулоновских амплитуд во всей области значений переменных. Сравнение с имеющимися в литературе данными [11, 12] показало, что простая в отношении вычислений формула (59) очень хорошо воспроизводит результаты точных расчетов сечения спонтанного 2BrS. Наличие точных аналитических выражений для кулоновских амплитуд поз-

воляет установить источник столь хорошего согласия. Сравнивая (59) с (38)–(40) и принимая во внимание соотношение (65), нетрудно убедиться, что вещественная часть в формуле Короля (59) в точности совпадает с вещественной частью внеинтегральных членов в $M_{\nu l}^L$. Мнимая же часть в (59) вообще является точной. Таким образом, (59) не учитывает только вещественную часть интегральных членов в (38)–(40). Как отмечалось выше, внеинтегральные члены дают главный вклад в амплитуду в борновской и низкочастотной области. При этом первый член асимптотики интегральной части $M_{\nu l}^L$ и в борновской, и в низкочастотной областях оказывается чисто мнимым, так что поправка к (59) появляется лишь в следующем порядке и имеет относительную величину

$$\frac{a^2\omega^2}{E^2} \left[\ln^2 \left(\frac{\omega}{E} \right) + C \ln \left(\frac{\omega}{E} \right) + C' \right], \quad (67)$$

где C, C' — постоянные. Эта оценка и определяет точность приближения (59) для кулоновского поля.

Следует обратить внимание, что низкочастотное приближение Кролла–Ватсона неприменимо при малых углах рассеяния, когда для оценки амплитуд Q_i учет лишь главного члена (60) асимптотики МЭ $M_{\nu l}^L$ при $\omega, \omega' \rightarrow 0$ оказывается недостаточным. Поскольку оценка поправочных членов к (60) для поля $U(r)$ общего вида затруднительна, мы проиллюстрируем это утверждение на примере кулоновского рассеяния. В этом случае низкочастотная асимптотика (64) имеет вид

$$\frac{d\sigma}{d\Omega} = \frac{1}{4\pi^2} \left(\frac{F}{2\omega} \right)^4 \frac{p'}{p} f_{reg} = B |\mathbf{e} \cdot (\mathbf{n} - \mathbf{n}')|^4, \quad (68)$$

где

$$B = \frac{F^4 Z^2}{2^8 \omega^8} \frac{1}{\sin^4(\theta/2)}.$$

Поправки в следующем порядке по частоте имеют громоздкий вид и могут быть получены из точных формул разд. 3. В частности, в следующем порядке по ω возникает СД-член

$$\begin{aligned} & \frac{1}{4\pi^2} \left(\frac{F}{2\omega} \right)^4 \frac{p'}{p} \Delta_{CD} = \\ & = B \frac{2a\omega}{p^2} (\ln y + b) \xi(\mathbf{k} \cdot [\mathbf{n} \times \mathbf{n}']) |\mathbf{e} \cdot (\mathbf{n} - \mathbf{n}')|^2, \quad (69) \end{aligned}$$

где

$$y = \frac{4pp'}{(p-p')^2} \sin^2 \frac{\theta}{2},$$

а $b = b(a)$ — гладкая функция импульса p . Очевидно, что условие применимости приближения Кролла–Ватсона состоит в выполнении неравенства

$$\frac{a\omega}{p^2} |(\mathbf{k} \cdot [\mathbf{n} \times \mathbf{n}'])| \ll |\mathbf{e} \cdot (\mathbf{n} - \mathbf{n}')|^2. \quad (70)$$

Поскольку $|\mathbf{e} \cdot (\mathbf{n} - \mathbf{n}')|^2 \sim \theta^2$, а $|\mathbf{n} \times \mathbf{n}'| \sim \theta$ при $\theta \rightarrow 0$, видно, что условие (70) нарушается при малых углах рассеяния (очевидно, его выполнение зависит также от азимутального угла). Заметим, что поскольку поправка (69) зависит от ξ , то для этой области углов эффекты дихроизма в сечении 2BrS имеют заметную величину даже при малых значениях ω/p^2 (хотя, конечно, при $\theta = 0$ эффект СД исчезает).

5.2. Высоочастотный предел ($Z/p \ll 1$, $\omega/E' \gg 1$, $\omega/E \sim 1$) и борновское приближение

Пусть в процессе вынужденного 2BrS быстрый электрон теряет значительную часть своей энергии, так что конечное состояние является неборновским. В этом случае замена волновой функции начального состояния на функцию свободного движения,

$$R_{El}(r) \rightarrow R_{El}^{(0)}(r), \quad R_{El}^{(0)} = \sqrt{\frac{2p}{\pi}} j_l(pr), \quad (71)$$

приводит к следующим результатам действия операторов D на волновую функцию:

$$\begin{aligned} D(l+1, l) R_{El}^{(0)} &= -p R_{El+1}^{(0)}, \\ D(l+1, l+2) R_{El+2}^{(0)} &= p R_{El+1}^{(0)}. \end{aligned} \quad (72)$$

Заменяя затем в (36) функцию Грина g_L на функцию Грина свободного электрона и используя соотношения (72), приведем $M_{\nu l}^L$ к следующему виду:

$$M_{\nu l}^L = (-1)^{(l-l')/2} \frac{2E}{E-\mathcal{E}} \left\langle R_{E'l'} \left| R_{El}^{(0)} \right. \right\rangle. \quad (73)$$

Вычисляя интеграл перекрытия $\left\langle R_{E'l'} \left| R_{El}^{(0)} \right. \right\rangle$ [63] и переходя к пределу $E \rightarrow \infty$, получаем

$$M_{\nu l}^L = (-1)^{(l-l')/2} 2^{2l'+9/2} Z \frac{C_{E'l'}(l'+1)! p^{l'}}{\sqrt{\pi} (2l'+2)! p^{l'+7/2}}. \quad (74)$$

Сравнивая (72) с (A.1) и (A.2), нетрудно установить, что в кулоновском случае выражение (74) соответствует учету в (38)–(40) только внеинтегрального слагаемого с $d_{\nu l+1}$, в котором волновая функция начального состояния заменена на $R_{El}^{(0)}$. Более детальный анализ выражений (38)–(40) в высокочастотной

области показывает, что член с $d_{l'l+1}$ дает главный вклад в асимптотику $M_{l'l}^L$ только при $L = l' + 1$, а при $L = l' - 1$ одинаковый порядок величины имеют все слагаемые в M_{l+2l}^{l+1} , M_{l+2l+2}^{l+1} (в том числе и вещественная часть интегральных членов). Таким образом, выражение (74) является правильной высокочастотной асимптотикой для МЭ M_{ll}^{l+1} , M_{ll+2}^{l+1} и отличается множителем при $p^{-l'-7/2}$ от правильного результата для M_{l+2l}^{l+1} , M_{l+2l+2}^{l+1} .

Интересно, что аналогичная ситуация возникает и при анализе однофотонных переходов: замена (71) в МЭ фотоионизации

$$d_{l_f l_i}(E_f, E_{n_i}) = \langle R_{E_f l_f} | D(l_f, l_i) | R_{n_i l_i} \rangle \quad (75)$$

приводит к правильной асимптотике МЭ с $l_f = l_i + 1$ и дает неверный множитель при энергетической зависимости в случае $l_f = l_i - 1$ (этот факт отмечается в книге [55], хотя его природа не обсуждается). Чтобы выяснить причину таких результатов, рассмотрим, как формируется высокочастотная асимптотика МЭ фотоионизации в борновском приближении:

$$d_{l-1l}^{(0)}(E_f, E_{n_i}) = \langle R_{E_f l-1}^{(0)} \left| \left(\frac{d}{dr} + \frac{l+1}{r} \right) \right| R_{n_i l} \rangle. \quad (76)$$

Интеграл в (76) содержит быстроосциллирующую (при $E_f \rightarrow \infty$) сферическую функцию Бесселя $j_{l_f}(pr)$, поэтому основной вклад дает окрестность точки $r = 0$. Поскольку $R_{n_i l} \sim N_{n_i} l r^l$ при малых r , из (76) следует

$$d_{l-1l}(E_f, E_{n_i}) = (2l+1) N_{n_i} \int_0^\infty r^{l+1} R_{E_f l-1}^{(0)}(r) dr. \quad (77)$$

Используя известные формулы [63], для интеграла вида (77) получаем

$$\int_0^\infty r^{l_1} R_{E l_2}^{(0)}(r) dr = \frac{\Gamma\left(\frac{l_2 + l_1 + 1}{2}\right)}{\Gamma\left(\frac{l_2 - l_1 + 2}{2}\right)} 2^{l_1-1/2} (2E)^{-(2l_1+1)/4}. \quad (78)$$

При $l_1 = l + 1$ и $l_2 = l - 1$ гамма-функция в знаменателе этого выражения обращается в бесконечность и, следовательно, главный член разложения $R_{n_i l}$ по r не дает вклада в асимптотику. Для вычисления первого не исчезающего члена высокочастотной асимптотики $d_{l-1l}(E_f, E_{n_i})$ нужно не только проводить дальнейшие разложения $R_{n_i l_i}$ по r ,

но и учитывать следующие члены разложения волновой функции R_{El} по $1/E$, т.е. поправку к $R_{El}^{(0)}$ в (71), а для МЭ второго порядка и кулоновскую поправку к функции Грина свободного электрона. Мы не приводим здесь эти вычисления, а отметим лишь, что главный вклад в асимптотику полного МЭ $M(\mathbf{e}^*, \mathbf{e}^*, E - \omega)$ в (7) дают парциальные амплитуды с $l' = 0$, высокочастотная асимптотика которых определяется формулой (74) (напомним, что в низкочастотной области все парциальные амплитуды имели одинаковый порядок величины по ω).

В кулоновском случае, учитывая в (20) только члены с $l' = 0$, которые имеются лишь в Q_1 и Q_5 :

$$Q_1 = 3Q_5 = 2^5 \pi Z e^{\pi a'/2} \Gamma(1 - ia') p^{-4}, \quad (79)$$

для полной амплитуды получаем

$$M(\mathbf{e}^*, \mathbf{e}^*, E - \omega) = 2^5 \pi Z e^{\pi a'/2} \Gamma(1 - ia') p^{-4} (\mathbf{e}^* \cdot \mathbf{n})^2. \quad (80)$$

Отметим, что количественное согласие асимптотического и точного результатов значительно улучшается, если при вычислении асимптотики сохранить в $M_{l'l}^L$ точный нормировочный множитель C_{El} , что соответствует замене $\sqrt{2p/\pi} \rightarrow C_{El}/l!$ в (71).

Поскольку, как уже отмечалось, высокочастотная асимптотика M_{ll}^{l+1} , M_{ll+2}^{l+1} определяется внеинтегральными членами, то точно учитывающая их формула (59) дает правильный предел (74) для этих МЭ и в этой области. В то же время для M_{l+2l+1}^{l+1} и M_{l+2l+2}^{l+1} высокочастотный предел формулы (59) совпадает с (74) и отличается от правильного результата.

Если электрон остается быстрым и в конечном состоянии ($a' = Z/p' \ll 1$), применимо борновское приближение. Согласно результатам Бункина и Федорова [25] (см. (6)), в этом случае сечение вынужденного 2BrS в кулоновском поле имеет элементарный вид:

$$\frac{d\sigma_B}{d\Omega} = \frac{F^4 Z^2}{2^4 \omega^8} \frac{|\mathbf{e} \cdot (\mathbf{p} - \mathbf{p}')|^4}{(\mathbf{p} - \mathbf{p}')^4} \frac{p'}{p}, \quad (81)$$

$$p'^2 = p^2 - 4\omega.$$

Этот же результат можно получить и непосредственно из точных результатов парциально-волнового анализа. В области низких частот, $\omega \ll p^2$ (хотя при этом частота может быть и не малой по сравнению с энергией связи, $\omega \sim 1$), борновские парциальные ряды сводятся к низкочастотным, в которых следует устремить $a \rightarrow 0$ (см. п. 5.1). При произвольном ω парциальные кулоновские МЭ $M_{l'l}^L$ тоже значительно упрощаются в борновской области: во-первых,

члены с интегралами в (38)–(40) оказываются малыми при $a, a' \ll 1$, так как имеют лишний множитель Z/p ; во-вторых, параметры функций ${}_2F_1$ становятся целыми, так что эти функции сводятся к элементарным. Например, выражение для M_{ll}^{l+1} в борновском пределе принимает вид

$$M_{ll}^{l+1} = Z \frac{(-1)^l 4^{l+1} (l!)^2}{(2l+3)!} \frac{(l+1)(pp')^{l+1/2}}{(p-p')^{2l+4}} \times \\ \times \left[(l+2) \frac{p^2 + p'^2}{\omega(p+p')} {}_2F_1(l+1, l+2, 2l+4; \lambda_0) + \right. \\ \left. + 4(l+1) {}_2F_1(l+2, l+2, 2l+4; \lambda_0) \right],$$

где $\lambda_0 = -4pp'/(p-p')^2$. Более того, полагая $a = a' = 0$ в подынтегральных выражениях в (38)–(40), в элементарном виде вычисляется и вторая борновская поправка от интегральных слагаемых в радиальных МЭ. Однако явные выражения указанных интегралов и функций ${}_2F_1$ с целочисленными параметрами через элементарные (степенные и логарифмические) функции оказываются громоздкими и все более усложняющимися с ростом l , что затрудняет процедуру суммирования парциальных рядов по l в (20). В первом борновском приближении такое суммирование удается выполнить с использованием разложения [50, формулы (5.17.26), (5.17.32)]

$$\frac{1}{(\mathbf{p}-\mathbf{p}')^2} = \sum_{l=0}^{\infty} a_l(p, p') P_l(\cos \theta),$$

$$a_l(p, p') = \frac{l! (pp')^l}{(1/2)_l (p-p')^{2l+2}} \times \\ \times {}_2F_1\left(l+1, l+1, 2l+2; -\frac{4pp'}{(p-p')^2}\right).$$

Используя рекуррентные соотношения для функций ${}_2F_1$ и полиномов Лежандра, можно проверить, что в борновском пределе результат суммирования парциальных рядов для амплитуды дает выражение (81).

6. ЧИСЛЕННЫЕ РЕЗУЛЬТАТЫ ДЛЯ КУЛОНОВСКОГО ПОТЕНЦИАЛА И ОБСУЖДЕНИЕ

6.1. Частотная и энергетическая зависимости радиальных матричных элементов

Поскольку даже при фиксированных геометрии эксперимента и поляризации фотонов сечения двухфотонных тормозных процессов остаются многопараметрическими функциями, представляет интерес

качественный анализ зависимости МЭ $M_{l'l}^L(E', E, \mathcal{E})$ от частоты фотонов и энергии электрона при различных значениях орбитальных моментов l, L, l' . Для кулоновского потенциала наличие точных формул (38)–(40) позволяет получить количественные результаты для МЭ и сечений в широком интервале указанных параметров, поскольку задача сводится к расчету функций ${}_2F_1$ и интегралов от них, который несложно провести, используя стандартные компьютерные программы. Как показано в [64], однофотонные кулоновские МЭ $d_{l'l}(E', E)$ являются положительными монотонными функциями энергии и, скажем, при фиксированном E и $E' > E$ монотонно убывают с ростом E' и расходятся при $E' \rightarrow E$ (при наличии некулоновской части в потенциале $U(r)$ МЭ могут менять знак в некоторой области энергий в зависимости от величины некулоновской добавки к фазам рассеяния [65]). В двухфотонном случае ситуация существенно усложняется как из-за наличия дополнительного параметра — частоты фотона ω (или энергии электрона в виртуальном состоянии $\mathcal{E} = E \pm \omega$), — так и ввиду комплексности МЭ $M_{l'l}^L$ (они вещественны лишь при $\mathcal{E} < 0$, что соответствует переизлучению фотона с $\omega > E$ в процессе упругого рассеяния (см. рис. 1б)). Поскольку мнимые части МЭ $M_{l'l}^L$ сводятся к простому произведению однофотонных МЭ (см. (59)), установление области параметров, для которых мнимая часть дает доминирующий вклад в двухфотонные МЭ, приобретает особый интерес ввиду очевидного кардинального упрощения результатов.

Как уже отмечалось, при фиксированном l вклад в двухфотонные сечения дают два «диагональных», M_{ll}^{l+1} и $M_{l+1, l+1}^l$, и два «недиагональных», $M_{l, l+2}^{l+1}$ и $M_{l+2, l}^{l+1}$, радиальных МЭ. Все они, как показывают расчеты в широком диапазоне E, ω и l , ведут себя достаточно универсально. Вещественные и мнимые части всех радиальных МЭ (за исключением $\text{Re } M_{ll}^{l+1}$) отрицательны и с ростом частоты монотонно убывают по абсолютной величине, не меняя знака (при этом мнимая часть убывает быстрее вещественной). При изменении l знаки $\text{Re } M_{l'l}^L$ и $\text{Im } M_{l'l}^L$ сохраняются. Абсолютные значения $\text{Re } M_{l'l}^L$ и $\text{Im } M_{l'l}^L$ при заданной начальной энергии (вне области малых частот) уменьшаются с ростом l (мнимая часть и в этом случае убывает быстрее вещественной), причем скорость их убывания при увеличении частоты увеличивается с ростом l . Некоторые примеры численных расчетов частотной зависимости радиальных МЭ с $l = 0$ и $l = 5$ для вынужденного 2BrS ($\mathcal{E} = E - \omega$, $E' = E - 2\omega$) приведены на рис. 3 при малых ($E = 0.1$) и промежуточных ($E = 1.0$) зна-

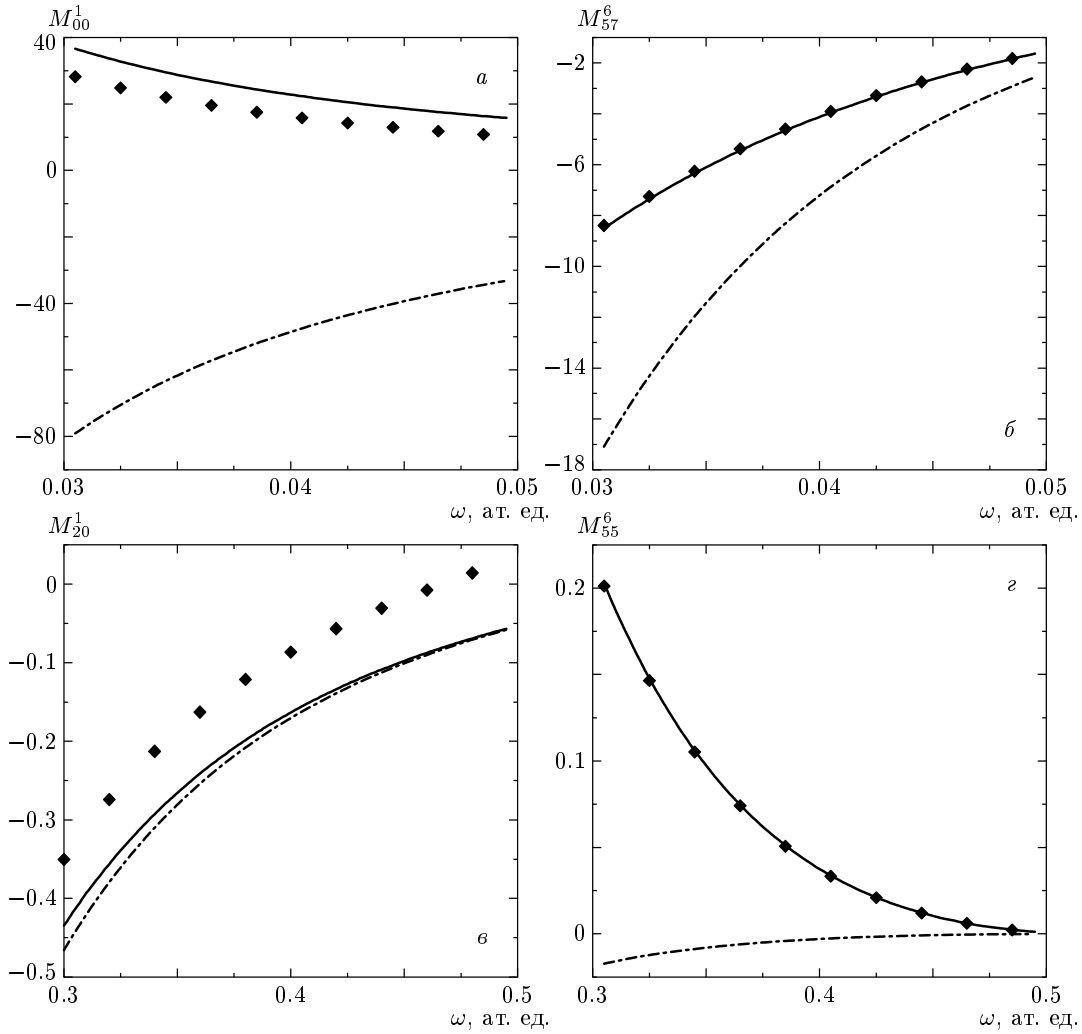


Рис. 3. Частотные зависимости матричных элементов 2BrS при начальной энергии электрона $E = 0.1$ (а, б) и $E = 1.0$ (в, г). Сплошные линии — $\text{Re } M$, штрихпунктир — $\text{Im } M$, ромбы — $\text{Re } M$ в приближении (59)

чениях начальной энергии E . Отметим, что все МЭ принимают конечные значения при пороговой частоте $\omega = E/2$ ($E' = 0$).

Частотная зависимость радиальных МЭ двойного тормозного поглощения ($\mathcal{E} = E + \omega$, $E' = E + 2\omega$) для тех же, что и в случае 2BrS (см. рис. 3), значений E и l показана на рис. 4. Как видно, поведение $M_{\nu l}^L$ для процессов излучения и поглощения качественно одинаково (монотонное убывание $\text{Re } M_{\nu l}^L$ и $\text{Im } M_{\nu l}^L$ с ростом ω и момента l , их знакоопределенность, более быстрое убывание мнимой части). Отличие состоит в том, что при тормозном поглощении нет порогового ограничения на частоту и с ростом ω МЭ убывают, стремясь (в очень далекой области частот) к асимптотике вида (74). При заданной частоте ω «диагональные» МЭ для поглощения значительно

превышают соответствующие МЭ для 2BrS, причем $|M_{ll}^{l+1}| > |M_{l+1, l+1}^l|$. Наблюдается интересное соответствие между численными значениями «недиагональных» МЭ для излучения и поглощения:

$$M_{\nu l}^L(E + 2\omega, E + \omega, E) \simeq M_{\nu l}^L(E - 2\omega, E - \omega, E).$$

В частности, в обоих случаях наибольшими по модулю в преобладающей области частот оказываются те МЭ, в которых изменение энергии и орбитального момента происходят «в одну сторону». Это соответствует известному правилу Бете для однофотонных переходов в дискретном спектре [55]. Однако для двухфотонных переходов в непрерывном спектре это правило оказывается нестрогим: оно нарушается в области малых частот, причем эта область расширяется с увеличением момента l .

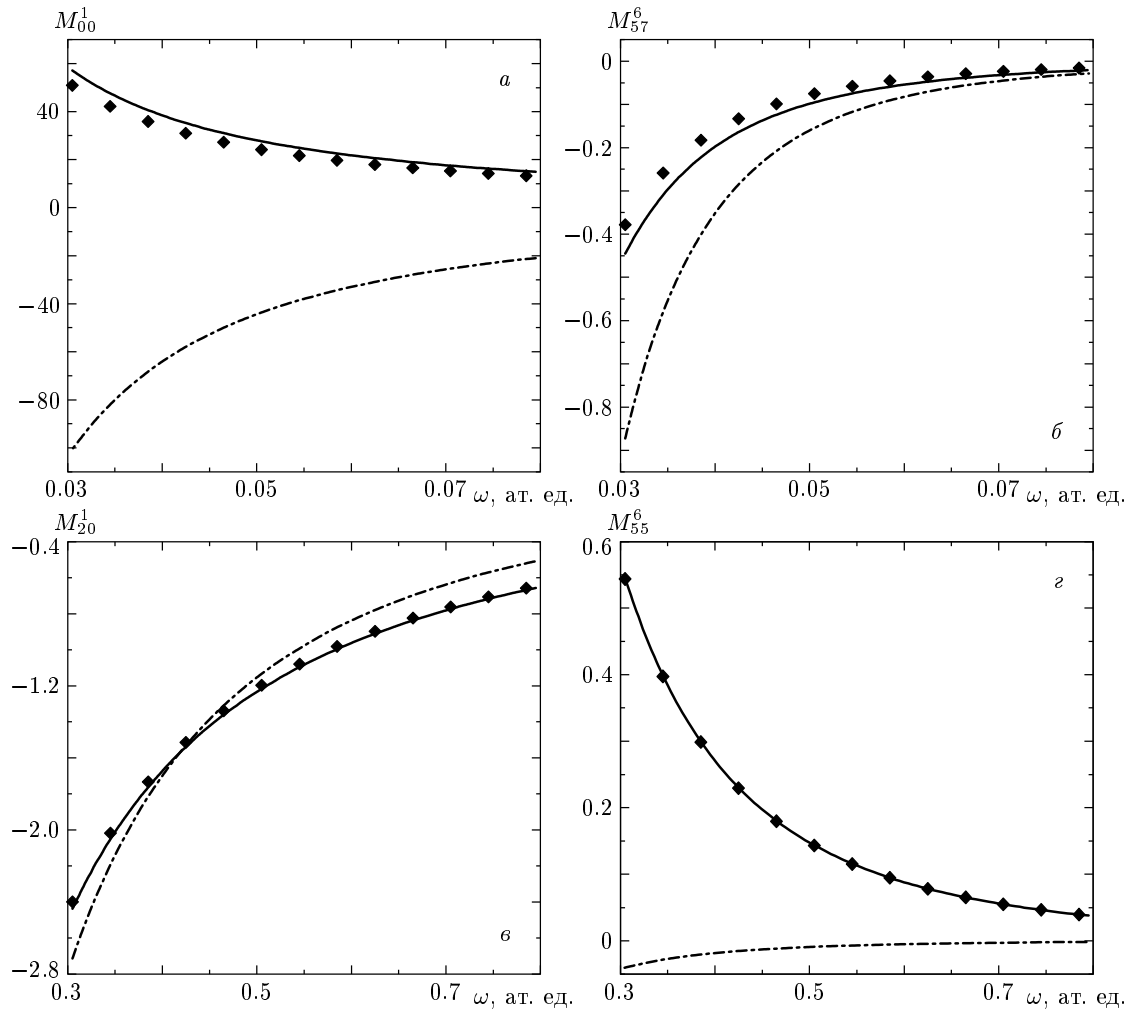


Рис. 4. То же, что и на рис. 3, но для матричных элементов двойного тормозного поглощения

Наличие точных результатов позволяет проверить корректность приближений, используемых для расчета $M_{l'l}^L(E', \mathcal{E}, E)$. Наиболее простым является «полюсное» приближение, которое состоит в учете только мнимой части $M_{l'l}^L$ в (57) (происходящей от члена с δ -функцией в (58)). В условиях применимости теории возмущений по полю волны к нему сводится и модель «существенных состояний» [66, 67] в теории многофотонных процессов в сильном поле. Асимптотические оценки (66) и численные расчеты показывают, что мнимая часть доминирует в низкочастотной области при малых начальных энергиях электрона (при этом для «недиагональных» МЭ точность полюсного приближения значительно лучше, чем для «диагональных»). В полюсном приближении двухфотонный переход можно рассматривать как «каскадный», т. е. происходящий лишь через од-

но промежуточное состояние континуума с энергией \mathcal{E} , чему соответствует факторизация амплитуды процесса:

$$M_{l'l}^L(E', \mathcal{E}, E) \rightarrow i \operatorname{Im} M_{l'l}^L = -i\pi \langle R_{E'l'} | D(l', L) | R_{\mathcal{E}L} \rangle \langle R_{\mathcal{E}L} | D(L, l) | R_{El} \rangle .$$

При увеличении частоты и/или энергии электрона вклад опущенной вещественной части МЭ возрастает. В области высоких частот ($a \ll 1, \omega/E' \gg 1, \omega/E \sim 1$ для процесса излучения и $a' \ll 1, \omega/E' \sim 1, \omega/E \gg 1$ для процесса поглощения) вещественная часть $M_{l'l}^L$ становится преобладающей, а мнимая часть имеет относительную малость порядка $1/\sqrt{\omega}$. В области промежуточных частот $\omega \sim E$ величины $\operatorname{Re} M_{l'l}^L$ и $\operatorname{Im} M_{l'l}^L$ имеют одинаковый порядок, так что переходы через различные промежуточные состояния, соответствующие веществен-

ной части $M_{l'l}^L$, становятся столь же существенны, как и «каскадные». Для примера ниже приводится ряд МЭ $M_{l'fi}^L(E + 2\omega, E + \omega, E)$ для энергии $E = 0.0536 = 1.458$ эВ и $\omega = 0.0735 = 2.0$ эВ, которые возникают при оценке вклада квадратичных по интенсивности поправок (обусловленных виртуальными переходами в континууме) к сечению фотоионизации состояния атома водорода с $n = 5$, $l = 4$ [68] (результаты приведены для случая оператора дипольного взаимодействия в «форме длины», используемой в [68]):

$$\begin{aligned} M_{35}^4 &= -(14.71 + i \cdot 24.76), \\ M_{55}^4 &= -(3,882 + i \cdot 0.910) \cdot 10^2, \\ M_{55}^6 &= (3.323 - i \cdot 0.594) \cdot 10^2, \\ M_{75}^6 &= -(2.386 - i \cdot 3.100) \cdot 10^2, \\ M_{13}^2 &= -(1.353 + i \cdot 2.793) \cdot 10^2, \\ M_{33}^2 &= -(1.369 + i \cdot 0.606) \cdot 10^3, \\ M_{33}^4 &= (1.141 - i \cdot 0.346) \cdot 10^3, \\ M_{53}^4 &= -(0.819 + i \cdot 1.270) \cdot 10^3. \end{aligned}$$

Как видно, в рассматриваемом случае полюсное приближение (так же как и правило Бете) неприменимо, причем эта ситуация типична для «надпороговых» многофотонных процессов, когда частоты фотонов сравнимы с энергией электрона в континууме. Следует также иметь в виду, что отдельные радиальные МЭ в полной амплитуде процесса, как правило, существенно «интерferируют» (взаимно сокращаются), что значительно повышает требования к точности их вычисления.

Приближение (59) (аппроксимация «1-delta» [14]) наряду с мнимой частью $M_{l'l}^L$ точно учитывает вещественную часть внеинтегральных членов в (38)–(40). Как обсуждалось в разд. 5, это приводит к правильным результатам в низкочастотной области (при любых значениях начальной энергии электрона) и в борновской области, а в высокочастотной области дает весьма точный результат для двух из четырех МЭ $M_{l'l}^L$ (тех, в которых конечное состояние имеет наименьший возможный орбитальный момент, см. п. 5.2), а также правильный вид частотной зависимости и порядок величины для двух других МЭ. Поэтому естественно, что указанное приближение хорошо согласуется с точными результатами практически при всех значениях частоты лазерного поля и энергии электрона (см. рис. 3, 4). Заметное различие наблюдается лишь при малых энергиях и малых значениях момента

Рис. 5. Пространственное распределение электронов в процессе 2BrS, рассеивающихся (с начальной энергией $E = 1.0$) на кулоновском центре в присутствии циркулярно поляризованной волны с частотой $\omega = 0.01$ (а, б) и $\omega = 0.1$ (в, г) при $\xi = 1$ (а, в) и $\xi = -1$ (б, г). Начальный импульс электрона лежит в плоскости поляризации (плоскость yz)

l (при этом наибольшее расхождение наблюдается для МЭ, в которых внеинтегральные члены не дают правильной высокочастотной асимптотики).

6.2. Угловые распределения и дихроизм в вынужденных тормозных процессах

Как обсуждалось в п. 2.3, угловые распределения существенно зависят не только от начальной энергии электрона E и частоты ω , но и от поляризации фотонов. Для рассеяния на кулоновском центре в присутствии циркулярно поляризованной волны с $\xi = \pm 1$ качественные особенности пространственного распределения рассеянных электронов при вынужденном 2BrS видны из рис. 5 для двух значений частоты: $\omega = 0.01$ и 0.1 . В соответствии с геометрией рис. 2 направление светового пучка \mathbf{k} выбрано перпендикулярным начальному импульсу электронов $\mathbf{p} = p\mathbf{n}$ с энергией $E = p^2/2 = 1.0$ ат. ед. Рисунок 5 наглядно показывает наличие CD: сечения $d\sigma/d\Omega$ для $\xi = +1$ и $\xi = -1$ существенно различаются (в то же время они переходят друг в друга при отражении

Рис. 6. То же, что и на рис. 5, но в поле с эллиптической поляризацией и частотой $\omega = 0.1$: $a - \alpha = \pi/2, \xi = 1/\sqrt{2}$; $b - \alpha = \pi/2, \xi = -1/\sqrt{2}$; $в - \alpha = \pi/4, \xi = 1/\sqrt{2}$; $г - \alpha = \pi/4, \xi = -1/\sqrt{2}$

относительно плоскости xz , см. п. 2.3). С уменьшением частоты эффект CD уменьшается в соответствии с тем, что низкочастотная асимптотика (68) содержит только «регулярный» член. Однако в области малых углов рассеяния значения $d\sigma/d\Omega$ при $\xi = \pm 1$ существенно различны даже при $\omega/E = 0.01$ (см. рис. 5а и 5б и обсуждение в п. 5.1). При дальнейшем уменьшении θ величина Δ_{CD} снова становится меньше f_{reg} , что подтверждают и численные расчеты: из рис. 5 видно, что при $\theta = 0$ значения $d\sigma/d\Omega$ при $\xi = +1$ и $\xi = -1$ совпадают.

В поле с эллиптической поляризацией наряду с CD асимметрия углового распределения обусловлена также эффектом эллиптического дихроизма (слагаемое с Δ_{ED} в (24)). При этом сечение существенно зависит от ориентации поляризационного эллипса, которая на рис. 2 задается углом α между вектором ϵ и осью y . На рис. 6 показано угловое распределение электронов при тех же E и ω , что на рис. 5в и 5г, но при $\xi = \pm 1/\sqrt{2}$ и двух значениях угла α : $\alpha = \pi/2$ ($\epsilon \parallel \mathbf{p}$) и $\alpha = \pi/4$ (вектор \mathbf{p} составляет угол $\pi/4$ с главной осью эллипса поляризации). Рисунки 6в и 6г

наглядно иллюстрируют обсуждавшееся в разд. 2.3 понижение симметрии при переходе от циркулярной поляризации к эллиптической: при $\alpha = \pi/4$ результаты для $\xi = 1/\sqrt{2}$ и $\xi = -1/\sqrt{2}$ качественно различаются, хотя плоскость yz по-прежнему остается плоскостью симметрии. Отметим, что хотя член Δ_{ED} не имеет параметра малости в общей формуле (24), численные расчеты показывают, что влияние эллиптического дихроизма на асимметрию угловых распределений оказывается существенно меньше, чем циркулярного.

Для иллюстрации абсолютной величины двухфотонных сечений и их зависимости от эллиптичности на рис. 7 показаны угловые распределения по углу θ между \mathbf{p} и \mathbf{p}' (в плоскости эллипса поляризации) для процесса вынужденного 2BrS при $E = 1.0$, $\omega/E = 0.1$ и различных значениях ξ (для двойного тормозного поглощения графики имеют аналогичный вид с заменой $\xi \rightarrow -\xi$). Результаты приведены для $\alpha = \pi/2$ и $\alpha = \pi/4$. В первом случае ($\alpha = \pi/2$) при $\theta = \pi$ сечения при $\xi = \pm 1$ являются строго одинаковыми вследствие отсутствия CD при рассеянии назад. В то же время сечения практически совпадают и в случае эллиптической поляризации с $\xi = \pm 1/\sqrt{2}$, что объясняется малостью Δ_{ED} по сравнению с регулярным слагаемым f_{reg} в (24) при $\theta = \pi$. Во втором случае ($\alpha = \pi/4$) четыре кривые (с $\xi = \pm 1, \xi = \pm 1/\sqrt{2}$) при $\theta = \pi$ сходятся в одну точку, так как при этих значениях углов α, θ, φ регулярный член f_{reg} с большой точностью ($< 5\%$) не зависит от поляризации и дает доминирующий вклад в сечение. Как видно, при изменении знака поляризации в области малых углов величина сечения изменяется почти на порядок. Отметим также существенную зависимость результатов от ориентации вектора \mathbf{p} относительно главной оси эллипса поляризации, а также отсутствие симметрии $d\sigma(\xi; \varphi) = d\sigma(-\xi; -\varphi)$ при $\alpha = \pi/4$. Зависимость сечения двухфотонного поглощения от энергии E при тех же, что и на рис. 7, значениях ξ и ω показана на рис. 8 для двух значений угла θ и ориентации \mathbf{p} перпендикулярно главной оси поляризации ($\alpha = 0$). Эффекты дихроизма наиболее существенны при $\omega \sim E$, причем зависимость от энергии в этой области качественно меняется при изменении θ .

В процессе двойного тормозного поглощения новым обстоятельством по сравнению с 2BrS является существование «критической» геометрии рассеяния, при которой переданный импульс $\Delta\mathbf{p} = \mathbf{p} - \mathbf{p}'$ оказывается перпендикулярным плоскости поляризации, так что $\mathbf{e} \cdot \Delta\mathbf{p} = 0$. В этом случае борновское приближение (81) и низкочастотная асимптотика (64)

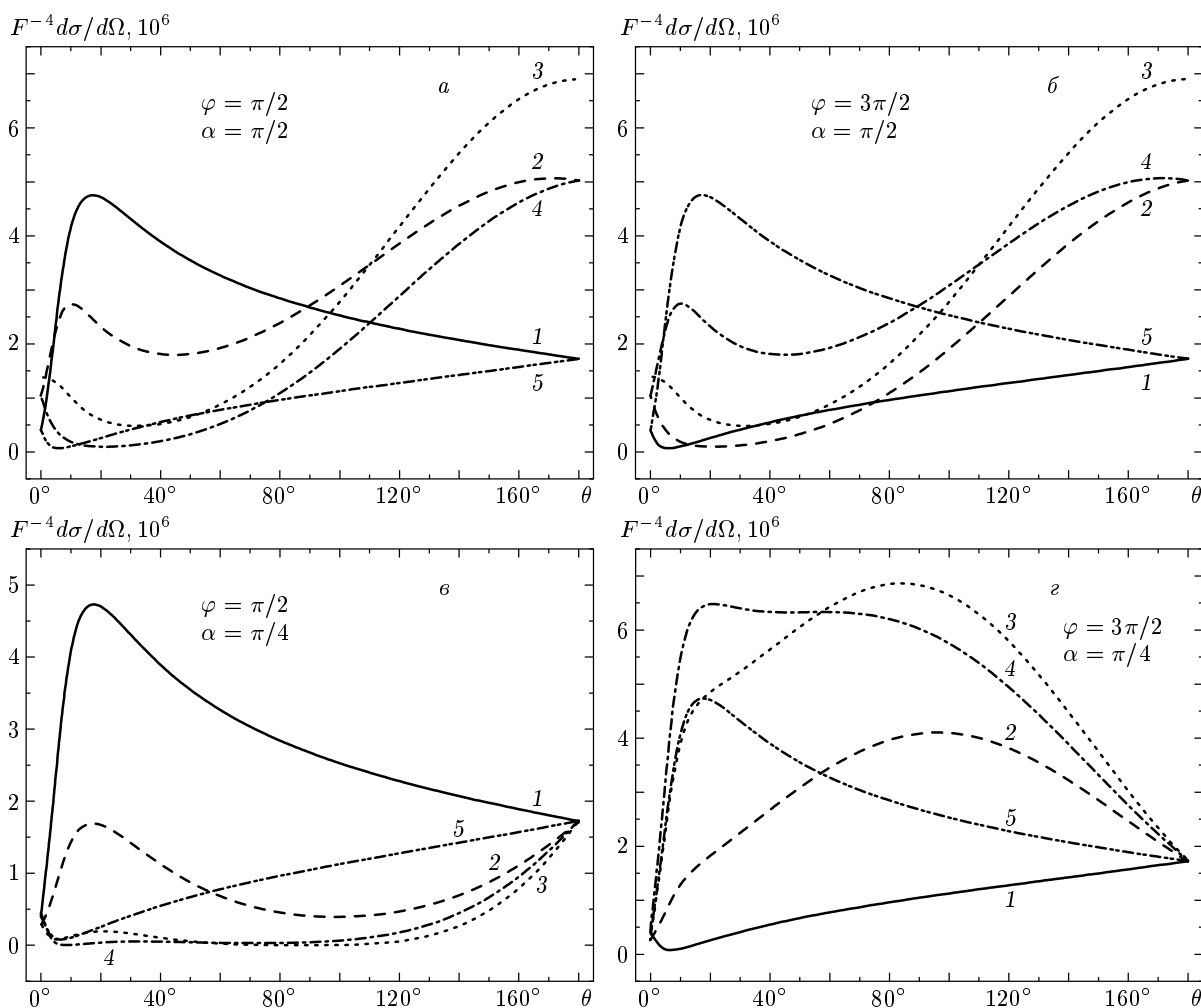


Рис. 7. Зависимость сечения 2BrS электронов с $E = 1.0$ и $\omega = 0.1$ от угла рассеяния θ в плоскости эллипса поляризации: кривые 1 — $\xi = -1$; 2 — $\xi = -1/\sqrt{2}$; 3 — $\xi = 0$; 4 — $\xi = 1/\sqrt{2}$; 5 — $\xi = 1$. Значения углов α и φ в геометрии рис. 2 указаны на графиках

дают нуль для сечения, тогда как при точном учете рассеивающего потенциала значение $d\sigma/d\Omega$ конечно. На рис. 9 показана зависимость сечения двойного тормозного поглощения от угла φ (см. рис. 2) в «критической» области. При энергии $E = 1.0$ и $\omega = 1/6$ (рис. 9а) формула Бункина–Федорова (81) вполне удовлетворительно описывает сечение (хотя борновские параметры в этом случае и не слишком малы: $a \approx 0.7$, $a' \approx 0.6$) за исключением малой области углов вблизи «критической» точки: $\theta = \pi/6$ и $\varphi = 0$, в которой борновский результат обращается в нуль, а точное сечение имеет ярко выраженный минимум. В то же время для $E = 0.1$ и $\omega = 1/60$ (рис. 9б) низкочастотная асимптотика (64) дает значительно худшее количественное согласие с точными результатами. Другая область «критических» па-

раметров, для которой низкочастотная асимптотика Кролла и Ватсона резко противоречит эксперименту и которая активно обсуждается в последние годы (см. ссылки в [32]), — низкоэнергетическое рассеяние (с энергией E порядка нескольких электрон-вольт) на малые углы в линейно поляризованном поле с начальным импульсом \mathbf{p} вдоль направления поляризации. На рис. 10 приведены сечения двойного тормозного поглощения для $E = 0.1$ и $\omega/E = 0.01$ и 0.05 в указанной геометрии. Как видно, при малых углах различие точных и приближенных результатов достигает пяти-шести порядков, хотя с ростом θ наблюдается практически полное согласие (результаты для 2BrS качественно те же, что и на рис. 10, однако в этом случае различие при малых θ не превышает одного-двух порядков). Таким образом, во-

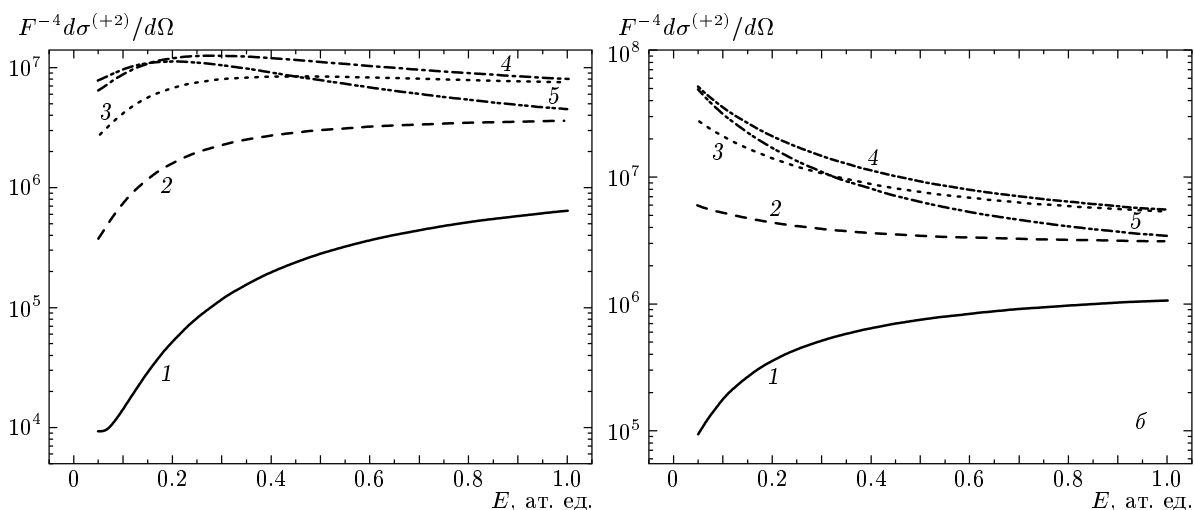


Рис. 8. Зависимость сечения двухфотонного поглощения от энергии E при $\omega = 0.1$, $\alpha = 0$, $\varphi = \pi/2$ и различных ξ (обозначения кривых те же, что и на рис. 7): а — $\theta = \pi/6$; б — $\theta = \pi/3$

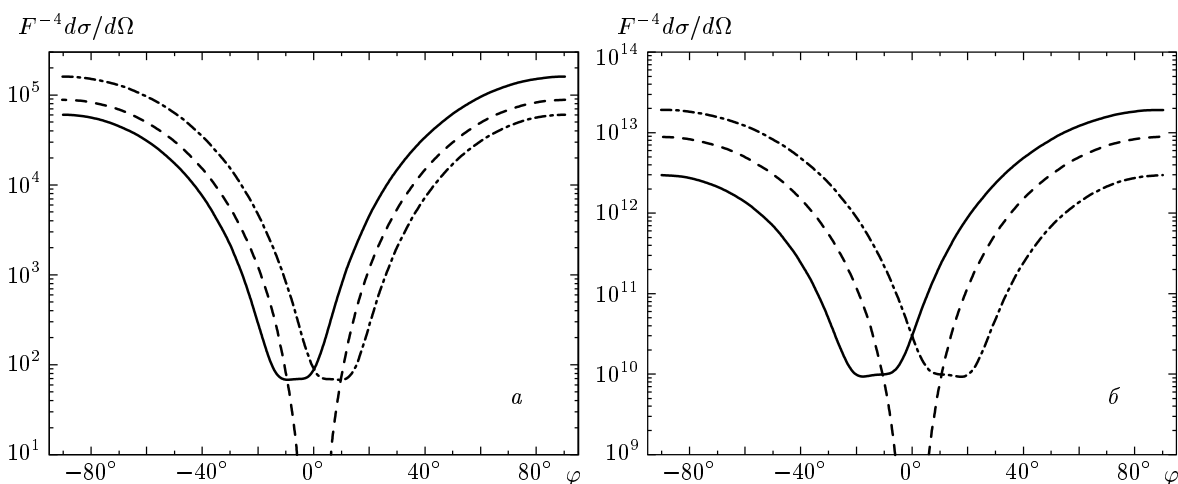


Рис. 9. Зависимость сечения двойного тормозного поглощения от угла φ при $\theta = \pi/6$ (сплошные линии — $\xi = 1/\sqrt{2}$; штрихпунктирные — $\xi = -1/\sqrt{2}$), $E = 1.0$, $\omega = 1/6$ (а, штриховая линия — борновское приближение (81)) и $E = 0.1$, $\omega = 1/60$ (б, штриховая линия — низкочастотная асимптотика (64))

прос о простых аппроксимациях тормозных сечений для описания рассеяния на малые углы при низких энергиях (когда борновское приближение неприменимо) требует особого рассмотрения.

Для иллюстрации соотношения между сечениями одно- и двухфотонного рассеяния в зависимости от параметров лазерного излучения и угла рассеяния на рис. 11 приведены сечения обычного резерфордовского рассеяния ($d\sigma^{(R)}/d\Omega$) и одно- и двухфотонного поглощения и излучения ($d\sigma^{(n)}/d\Omega$ с $n = \pm 1, \pm 2$) как функции угла θ в плоскости поляризации (для кулоновского потенциала аналитические

выражения для факторов Q в амплитуде однофотонных процессов (3), (4) приведены в [4]). Как видно, сечения $d\sigma^{(n)}/d\Omega$ более чувствительны к изменению степени эллиптичности при углах $\theta < \pi/2$, при этом в обоих случаях при малых углах сечения максимальны при циркулярной поляризации, в то время как рассеяние на углы $\theta > \pi/2$ более эффективно в поле с линейной поляризацией. В отличие от резкой угловой зависимости резерфордовского сечения $d\sigma^{(R)}/d\Omega$ при малых θ , сечения тормозных процессов более плавно зависят от θ , хотя однофотонные сечения при малых углах также возрастают более

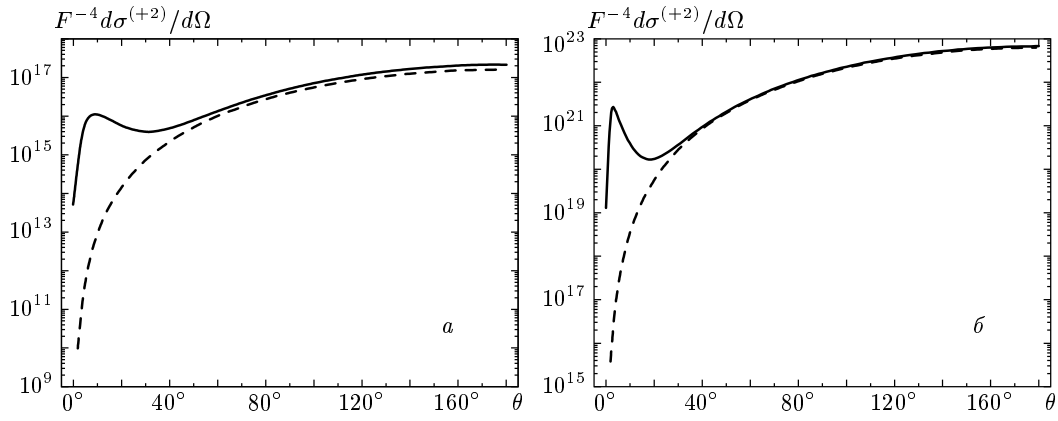


Рис. 10. Сечения двойного тормозного поглощения электронов с энергией $E = 0.1$ на кулоновском центре в поле линейно поляризованной волны с частотой $\omega = 0.005$ (а) и $\omega = 0.001$ (б). Начальный импульс электрона направлен вдоль вектора поляризации волны; θ — угол рассеяния. Сплошные линии — точный результат, штриховые — низкочастотное приближение (64)

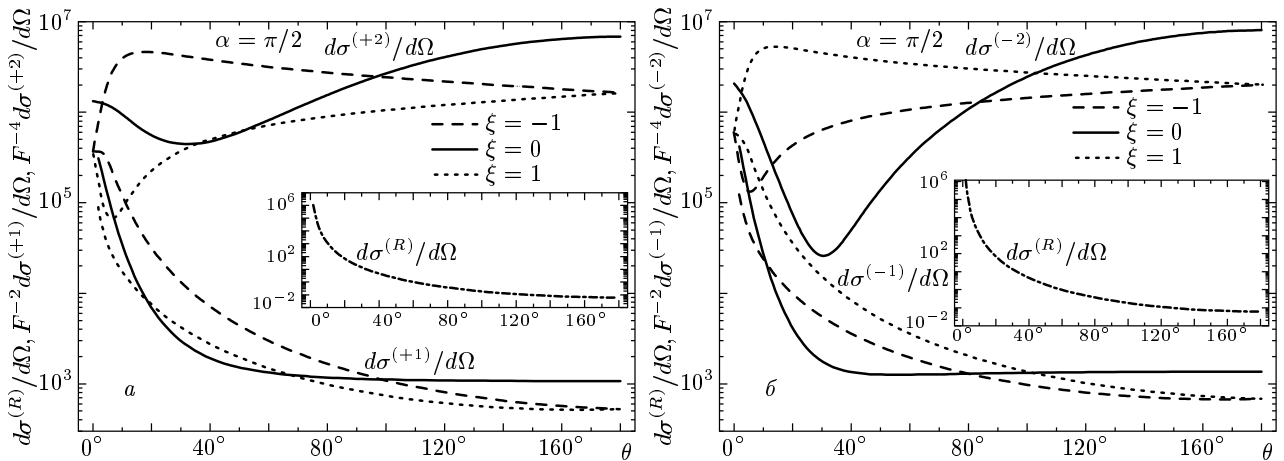


Рис. 11. Сечения рассеяния электронов с энергией $E = 1.0$ в полях линейно ($\xi = 0$) и циркулярно ($\xi = \pm 1$) поляризованных волн с частотой $\omega = 0.1$. Импульс рассеянного электрона лежит в плоскости поляризации; $\varphi = \pi/2$. Величины $d\sigma^{(n)}/d\Omega$ с $n = +1, +2$ и $n = -1, -2$ соответствуют поглощению (а) и излучению (б) одного и двух фотонов. На вставках показано сечение $d\sigma^{(R)}/d\Omega$ резерфордского рассеяния в отсутствие поля

чем на два порядка, а двухфотонные демонстрируют немонотонную зависимость. Эффекты дихроизма наиболее существенны при малых углах, хотя и при рассеянии под прямым углом различие сечений при изменении знака ξ достигает 100%. При фиксированной начальной энергии электрона абсолютная величина тормозных сечений резко возрастает с уменьшением частоты (рис. 12), при этом частотные зависимости хорошо аппроксимируются выражением

$$d\sigma^{(\pm n)}(\omega)/d\Omega \sim 1/\omega^{4n}.$$

В заключение отметим, что приведенные ре-

зультаты позволяют качественно оценить пределы применимости теории возмущений по лазерному полю для описания тормозных процессов. Так, вне области малых углов при $E \approx 1$ и $\omega \approx 0.1$ типичное отношение двухфотонных сечений к однофотонным составляет $(10^4-10^3)F^2$ и достигает единицы (когда теория возмущений становится заведомо неприменимой) при интенсивности $I_{cr} \sim (10^{12}-10^{13})$ Вт/см², значительно меньшей внутриатомной, $I_0 = 3.51 \cdot 10^{16}$ Вт/см². С уменьшением частоты величина I_{cr} быстро убывает (как ω^4), так что в области оптических частот эффек-

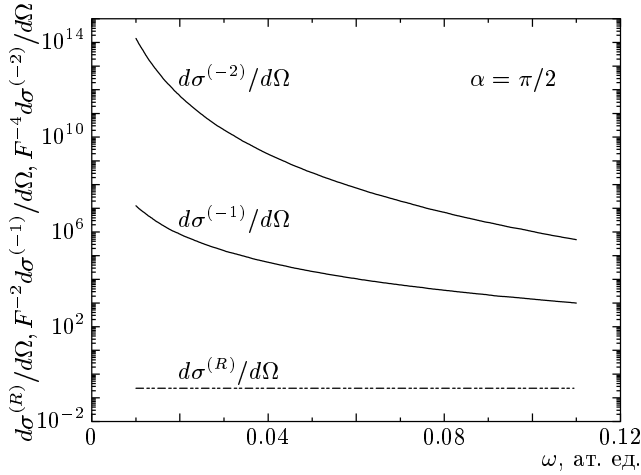


Рис. 12. Частотная зависимость сечений однофотонного ($d\sigma^{(-1)}/d\Omega$) и двойного тормозного ($d\sigma^{(-2)}/d\Omega$) излучений электронов с энергией $E = 1.0$ на кулоновском центре в поле циркулярно поляризованной волны с $\xi = 1$ в геометрии рис. 2 с $\theta = \varphi = \pi/2$; $d\sigma^{(R)}/d\Omega$ — сечение резерфордского рассеяния

тивным параметром теории возмущений является отношение F/ω^2 (или отношение амплитуды классических осцилляций электрона в лазерном поле к боровскому радиусу). При малых θ отношение $d\sigma^{(\pm 2)}(\omega)/d\sigma^{(\pm 1)}$ достигает 1 лишь в сверхсильных полях с $I_{cr} \sim I_0$ (см. рис. 11), а в более слабых полях доминирующий вклад в сечение рассеяния на малые углы дают однофотонные процессы.

Работа выполнена при частичной финансовой поддержке CRDF и Министерства образования РФ (грант VZ-010-0), а также РФФИ (проект 00-02-17843), Конкурсного центра Министерства образования РФ (грант Е00-3.2-515) и Национального научного фонда США (А. Ф. С., грант РНУ-0070980).

ПРИЛОЖЕНИЕ А

Используя рекуррентные соотношения для вырожденной гипергеометрической функции $\Phi(\alpha, \beta; x)$, действие дипольных операторов (22) на кулоновскую волновую функцию непрерывного спектра $R_{El}(r)$ можно представить в виде

$$D(l+1, l)R_{El}(r) = -p \frac{l+1-ia}{|l+1-ia|} R_{El+1}(r) - \frac{2ZC_{El}}{(2l+3)!} (2pr)^l \exp(-ipr) \times [(l+2+ia)\Phi(l+3+ia, 2l+4; 2ipr) + (l+1-ia)\Phi(l+2+ia, 2l+4; 2ipr)], \quad (A.1)$$

$$D(l+1, l+2)R_{El+2}(r) = p \frac{l+2-ia}{l+2-ia} R_{El+1}(r) - \frac{2ZC_{El+2}}{(2l+3)!(l+2-ia)} (2pr)^l \exp(-ipr) \times [\Phi(l+3+ia, 2l+4; 2ipr) - \Phi(l+2+ia, 2l+4; 2ipr)]. \quad (A.2)$$

Поскольку первые слагаемые в правых частях (A.1) и (A.2) пропорциональны $R_{El+1}(r)$, соответствующие члены в МЭ M_{li}^L в (36) выражаются через МЭ (37) в соответствии с (38)–(40). Величины d_{li} легко вычисляются с использованием соотношений (A.1) и (A.2), что дает для d_{l+1l} и d_{l+1l+2} формулы (41), в которых интеграл

$$I^{m'm}(E', E) = \int_0^\infty dr r^{2l+3} \exp[-i(p'+p)r - \varepsilon r] \times \Phi(l+3-m'+ia', 2l+4; 2ip'r) \times \Phi(l+3-m+ia, 2l+4; 2ip'r) \quad (A.3)$$

является табличным [56] и сводится к функции ${}_2F_1$, см. (42).

Двойной интеграл $J^{m'm}$ в (38)–(40) содержит радиальную кулоновскую функцию Грина $g_l(r, r', \mathcal{E})$:

$$J^{m'm} = \int_0^\infty dr' dr (r'r')^{l+2} \exp[-ip'r' - ipr - \varepsilon r] \times \Phi(l+3-m'+ia', 2l+4; 2ip'r) g_{l+1}(\mathcal{E}, r, r') \times \Phi(l+3-m+ia, 2l+4; 2ipr). \quad (A.4)$$

Для его вычисления удобно использовать интегральное представление g_L [69]:

$$g_L(r, r', \mathcal{E}) = \frac{2}{\sqrt{rr'}} \int_0^1 \frac{dt}{1-t} t^{-(1/2)-Z\nu} \times \exp\left[-\frac{r+r'}{\nu} \frac{1+t}{1-t}\right] I_{2L+1}\left(\frac{4\sqrt{rr't}}{\nu(1-t)}\right), \quad (A.5)$$

где $I_k(t)$ — модифицированная функция Бесселя $\nu = 1/\sqrt{-2\mathcal{E}}$. Отметим, что в интегралы (А.3), (А.4) с осциллирующими функциями введены регуляризующие множители $\exp(-\varepsilon r)$ с $\varepsilon \rightarrow +0$. Подставляя (А.5) в (А.4) и используя интегральное представление функции $\Phi(\alpha, \beta, x)$ [56], получаем

$$\begin{aligned}
 J^{m'm}(E', E, \mathcal{E}) &= \\
 &= \frac{2(2l+3)!}{\Gamma(l+1+m+ia)\Gamma(l+3-m-ia)} \times \\
 &\quad \times \int_0^1 dt \frac{t^{-Z\nu-1/2}}{1-t} \times \\
 &\quad \times \int_0^1 du u^{l+m+ia}(1-u)^{l+2-m'-ia} \times \\
 &\quad \times \int_0^\infty dr' r'^{l+3/2} \exp\left[-\left(\frac{1}{\nu} \frac{1+t}{1-t} + ip'\right) r'\right] \times \\
 &\quad \times \Phi(l+1+m'+ia', 2l+4; 2ip'r') \times \\
 &\quad \times \int_0^\infty dr r^{l+3/2} \exp\left[-\left(ip + \frac{1}{\nu} \frac{1+t}{1-t} - 2ipu\right) r\right] \times \\
 &\quad \times I_{2l+3}\left(\frac{4\sqrt{rr't}}{\nu(1-t)}\right). \quad (\text{А.6})
 \end{aligned}$$

Специальное соотношение между индексом функции Бесселя I_k , параметром β в $\Phi(\alpha, \beta; x)$ и показателями степеней r и r' в интеграле (А.6), достигнутое преобразованиями (А.1), (А.2), позволяет выразить интегралы по r и r' через элементарные функции [63]. В результате интеграл по u в (А.6) дает определение гипергеометрической функции двух переменных (функции Аппеля)

$$F_1(l+1+m+ia; l+3-m'-ia', l+1+m'+ia'; 2l+4; x, y),$$

которая при указанных значениях параметров сводится к ${}_2F_1$ согласно известным формулам приведения [56], и $J^{m'm}$ принимает окончательный вид (43).

ПРИЛОЖЕНИЕ Б

Аналитическое продолжение формул (38)–(40) по переменным p и p' на область отрицательных энергий, $p \rightarrow iZ/n$ и $p' \rightarrow iZ/n'$, позволяет получить МЭ двухфотонных переходов между состояниями дискретного спектра $|nl\rangle$ и $|n'l'\rangle$:

$$M_{\nu l}^L(n', n, \mathcal{E}) = \langle n'l' | D(l', L) g_L(\mathcal{E}) D(L, l) | nl \rangle. \quad (\text{Б.1})$$

В результате указанной замены p и p' параметры функций ${}_2F_1$ и показатели степени в знаменателе в интеграле (43) становятся целыми:

$$J^{m'm}(n', n, \mathcal{E}) \propto \int_0^1 dt \frac{t^{l+1-Z\nu} {}_2F_1(l+1+m'-n', l+1+m-n, 2l+4; \lambda)}{(1-t/y)^{l+1+m-n} (1-yt)^{l+1+m'-n'} (1-y't)^{2-m'-m+n'+n}}, \quad (\text{Б.2})$$

где

$$\begin{aligned}
 y &= \frac{(\alpha-\nu)(\alpha'+\nu)}{(\alpha+\nu)(\alpha'-\nu)}, & y' &= \frac{(\alpha-\nu)(\alpha'-\nu)}{(\alpha+\nu)(\alpha'+\nu)}, \\
 \lambda &= \frac{16\alpha\alpha'\nu^2}{(\alpha^2-\nu^2)(\alpha'^2-\nu^2)} \frac{t}{(1-yt)(1-t/y)}, \\
 \alpha &= n/Z, & \alpha' &= n'/Z.
 \end{aligned}$$

Интеграл в (Б.2) можно выразить через известные функции, преобразуя подынтегральное выражение с помощью соотношения [56, формула (2.5.2.12)]

$$\begin{aligned}
 &\frac{(1-yt)^{n'-l-m'-1} (1-t/y)^{n-l-m-1}}{(1-y't)^{n+n'+2-m-m'}} \times \\
 &\times {}_2F_1(l+1+m'-n', l+1+m-n, 2l+4; \lambda) = \\
 &= \sum_{k=0}^{\infty} \frac{(2l+4)_k}{k!} (y't)^k {}_2F_1(l+1+m-n, -k; 2l+4; z) \times \\
 &\quad \times {}_2F_1(l+1+m'-n', -k; 2l+4; z'),
 \end{aligned}$$

где $z = -4\alpha\nu/(\alpha-\nu)^2$, $z' = -4\alpha'\nu/(\alpha'-\nu)^2$. После этого интеграл (Б.2) вычисляется элементарно и принимает вид, тождественный формуле (13) в [49]. Воспользовавшись результатами указанной работы, запишем $J^{m'm}$ через гипергеометрические полиномы ${}_2F_1(-k, b; c; x)$ и функции Аппеля $F_1(a; -k, k+2l+2; d; x, y)$ специального вида, выражающиеся через сумму $k+1$ полных функций ${}_2F_1$ или (при целом отрицательном a) гипергеометрический полином двух переменных:

$$\begin{aligned}
 J^{m'm} &= 2^{-2l-4} \Gamma^2(2l+4) (\alpha\alpha')^{l+2} \times \\
 &\quad \times g_{n-l-1-m, n'-l-1-m'}^{l+1}(\nu; \alpha, \alpha'), \quad (\text{Б.3})
 \end{aligned}$$

где

$$\begin{aligned}
g_{kk'}^l(\nu; \alpha, \alpha') &= \nu \frac{(4\nu\sqrt{\alpha\alpha'})^{2l+2}}{\Gamma(2l+2)} \times \\
&\times \frac{(\alpha - \nu)^k}{(\alpha + \nu)^{k+2l+2}} \frac{(\alpha' - \nu)^{k'}}{(\alpha' + \nu)^{k'+2l+2}} \times \\
&\times \left[\frac{{}_2F_1(-k, l+1-\eta; 2l+2; z)}{l+1-\eta} \times \right. \\
&\times F_1(l+1-\eta; -k', k'+2l+2; l+2-\eta; y, y') + \\
&+ \sum_{p=1}^k C_k^p(-z)^p \times \\
&\times \frac{{}_2F_1(-k+p, l+1-\eta+p; 2l+2+p; z)}{(2l+2)_p} \times \\
&\times \Phi_p(k', l, \eta; y, y') \left. \right], \tag{Б.4}
\end{aligned}$$

$$\Phi_p(k', l, \eta; y, y') = -\frac{(l+2+\eta-p)_{p-1}(1-y)^{k'}}{(1-y')^{k'+2l+2}} \times$$

$$\times F_1(-p+1; -k', k'+2l+2; l+2+\eta-p; 1/(1-y), 1/(1-y')),$$

C_k^p — биномиальный коэффициент, $\eta = Z\nu$.

Для преобразования $J^{m'm}$ к форме (Б.3), (Б.4) достаточно, чтобы в (Б.2) целым было лишь одно из двух чисел, n или n' (которое и будет определять верхний предел k суммы по p в (Б.4)). Поэтому в замкнутом виде могут быть представлены также амплитуды связанно-свободных (но не свободно-свободных) переходов. Явные выражения для всех $M_{l'l}^L(n', n, \mathcal{E})$ в (Б.1), разрешенных дипольными правилами отбора, в виде линейных комбинаций $g_{kk'}^l$ и аналогичные выражения для МЭ связанно-свободных переходов (двухфотонные формулы Гордона) приведены в [49].

ЛИТЕРАТУРА

1. A. Sommerfeld, Ann. der Phys. **11**, 257 (1931); А. Зоммерфельд, *Строение атома и спектры*, т. 2, Гостехиздат, Москва (1956).
2. L. Bess, Phys. Rev. **77**, 550 (1950); A. Nordsieck, Phys. Rev. **93**, 785 (1954).
3. В. Б. Берестецкий, Е. М. Лифшиц, Л. П. Питаевский, *Квантовая электродинамика*, Наука, Москва (1980).
4. N. L. Manakov, S. I. Marmo, and V. V. Volovich, Phys. Lett. **27A**, 42 (1995); J. Electr. Spectr. and Rel. Phen. **79**, 327 (1996).
5. L. C. Biedenharn, Phys. Rev. **102**, 262 (1956).
6. W. Heitler and L. Nordheim, Physica **1**, 1059 (1934).
7. J. C. Altman and C. A. Quarles, Phys. Rev. A **31**, 2744 (1985).
8. D. L. Kahler, J. Liu, and C. A. Quarles, Phys. Rev. Lett. **68**, 1690 (1992); Phys. Rev. A **47**, 4274 (1993); J. Liu and C. A. Quarles, Phys. Rev. A **47**, R3479 (1993).
9. R. Hippler, Phys. Rev. Lett. **66**, 2197 (1991); R. Hippler and H. Schneider, Nucl. Instrum. Methods Phys. Res. **87**, 268 (1994).
10. А. И. Смирнов, ЯФ **25**, 1030 (1977).
11. M. Gavrilu, A. Maquet, and V. Veniard, Phys. Rev. A **32**, 2537 (1985); V. Veniard, M. Gavrilu, and A. Maquet, Phys. Rev. A **35**, 448 (1987); M. Gavrilu, A. Maquet, and V. Veniard, Phys. Rev. A **42**, 236 (1990).
12. V. Florescu and V. Djamo, Phys. Lett. **119A**, 73 (1986); M. Dondera and V. Florescu, Phys. Rev. A **48**, 4267 (1993).
13. Н. Л. Манаков, С. И. Мармо, А. Г. Файнштейн, ЖЭТФ **108**, 1569 (1995).
14. A. V. Korol, J. Phys. B **28**, 3873 (1995).
15. A. V. Korol, J. Phys. B **29**, 3257 (1996).
16. Т. А. Федорова, А. В. Корол, и И. А. Соловьев, J. Phys. B **33**, 5007 (2000).
17. A. V. Korol, J. Phys. B **30**, 413 (1997).
18. M. Dondera and V. Florescu, Phys. Rev. A **58**, 2016 (1998).
19. A. V. Korol, J. Phys. B **27**, 155 (1994).
20. G. Kracke, J. S. Briggs, A. Dubois et al., J. Phys. B **27**, 3241 (1994).
21. D. Andrick and L. Langhaus, J. Phys. B **9**, L459 (1976).
22. A. Weingartshofer, J. K. Holmes, G. Caudle et al., Phys. Rev. Lett. **39**, 269 (1977).

23. B. Wallbank and J. K. Holmes, *Phys. Rev. A* **48**, R2515 (1993); *J. Phys. B* **27**, 1221 (1994); **27**, 5405 (1994); **29**, 5881 (1996).
24. N. J. Mason, *Rep. Progr. Phys.* **56**, 1275 (1993).
25. Ф. В. Бункин, М. В. Федоров, *ЖЭТФ* **49**, 1569 (1965).
26. Ф. В. Бункин, А. Е. Казаков, М. В. Федоров, *УФН* **107**, 559 (1972).
27. N. M. Kroll and K. M. Watson, *Phys. Rev. A* **8**, 804 (1973).
28. M. H. Mittleman, *Phys. Rev. A* **19**, 134 (1979); **20**, 1965 (1979); **21**, 79 (1980).
29. L. Rosenberg, *Phys. Rev. A* **23**, 2283 (1981).
30. S. Geltman, *Phys. Rev. A* **53**, 3473 (1996); **55**, 3755 (1997).
31. L. B. Madsen and K. Taulbjerg, *J. Phys. B* **31**, 4701 (1998).
32. N. J. Kylstra and C. J. Joachain, *Phys. Rev. A* **58**, R26 (1998); **60**, 2255 (1999).
33. L. W. Garland, A. Jaroń, J. Z. Kamiński, and R. M. Potvlige, *J. Phys. B* **35**, 2861 (2002).
34. И. Я. Берсон, *ЖЭТФ* **80**, 1727 (1981).
35. F. Ehlotzky, A. Jaroń, and J. Z. Kamiński, *Phys. Rep.* **297**, 63 (1998).
36. A. G. Fainshtein, N. L. Manakov, and S. I. Marmo, *Phys. Lett. A* **195**, 358 (1994).
37. Р. В. Карапетян, М. В. Федоров, *ЖЭТФ* **75**, 816 (1978).
38. R. Daniele and E. Fiordilino, *Nuovo Cim. D* **18**, 547 (1996).
39. A. Florescu and V. Florescu, *Phys. Rev. A* **61**, 033406 (2000).
40. В. П. Крайнов, С. П. Рошупкин, *ЖЭТФ* **84**, 1302 (1983).
41. A. Florescu and V. Florescu, *Phys. Lett.* **226A**, 280 (1997).
42. M. H. Mittleman, *J. Phys. B* **26**, 2709 (1993).
43. P. D. Fainstein and A. Maquet, *J. Phys. B* **27**, 5563 (1994).
44. D. Khalil, O. E. Akramine, A. Makhoute et al., *J. Phys. B* **31**, 1115 (1998); O. E. Akramine, A. Makhoute, D. Khalil et al., *J. Phys. B* **32**, 2783 (1999).
45. N. L. Manakov, S. I. Marmo, and A. V. Meremianin, *J. Phys. B* **29**, 2711 (1996).
46. А. А. Балакин, Г. М. Фрайман, *ЖЭТФ* **120**, 797 (2001).
47. Л. П. Рапопорт, А. С. Корнев, *ЖЭТФ* **116**, 1241 (1999); L. P. Rappoport and A. S. Kornev, *J. Phys. B* **33**, 87 (2000).
48. A. Cionga, F. Ehlotzky, and G. Zloh, *Phys. Rev. A* **62**, 063406 (2000); *J. Phys. B* **33**, 4939 (2000).
49. А. А. Крыловецкий, Н. Л. Манаков, С. И. Мармо, *ЖЭТФ* **119**, 45 (2001).
50. Д. А. Варшалович, А. Н. Москалев, В. К. Херсонский, *Квантовая теория углового момента*, Наука, Ленинград (1975).
51. N. L. Manakov, A. V. Meremianin, and A. F. Starace, *Phys. Rev. A* **57**, 3233 (1998).
52. J. S. Briggs and V. Schmidt, *J. Phys. B* **33**, R1 (2000).
53. N. L. Manakov, A. Maquet, S. I. Marmo et al., *J. Phys. B* **32**, 3747 (1999).
54. Н. Л. Манаков, А. В. Меремьянин, *ЖЭТФ* **112**, 1984 (1997).
55. Г. Бете, Э. Солпитер, *Квантовая механика атомов с одним и двумя электронами*, Физматгиз, Москва (1960).
56. Г. Бейтмен, А. Эрдейи, *Высшие трансцендентные функции*, т. 1, Наука, Москва (1974).
57. Л. Д. Ландау, Е. М. Лифшиц, *Квантовая механика*, Наука, Москва (1974).
58. L. C. Biedenharn, J. L. McHale, and R. M. Thaler, *Phys. Rev.* **100**, 376 (1955).
59. Н. Л. Манаков, М. А. Преображенский, Л. П. Рапопорт, А. Г. Файнштейн, *ЖЭТФ* **75**, 1243 (1978); N. C. Sil, M. A. Crees, and M. J. Seaton, *J. Phys. B* **17**, 1 (1984); B. Gao and A. F. Starace, *Comput. in Phys.* **6**, 70 (1987).
60. J. L. Madajczyk and M. Trippebach, *J. Phys. A* **22**, 2369 (1989).
61. L. Pan, *J. Mod. Opt.* **36**, 877 (1989); V. Veniard and B. Piraux, *Phys. Rev. A* **41**, 4019 (1990); A. V. Korol, *J. Phys. B* **27**, L103 (1994); T. Mercouris, Y. Komninos, S. Dionissopoulou, and C. A. Nicolaides, *J. Phys. B* **29**, L13 (1996).
62. N. L. Manakov, S. I. Marmo, and A. V. Shaposhnikov, in: *Atoms and Molecules in Strong Field of Laser Radiation*, ed. by F. V. Bunkin and I. I. Tugov, Wiley-Nauka Sci. Publ., Moscow (1992), p. 87.

63. И. С. Градштейн, И. М. Рыжик, *Таблицы интегралов, сумм, рядов и произведений*, Наука, Москва (1971).
64. S. D. Oh and R. H. Pratt, Phys. Rev. A **45**, 1583 (1992).
65. C. D. Shaffer, R. H. Pratt, and S. D. Oh, Phys. Rev. A **57**, 227 (1998).
66. Z. Deng and J. H. Eberly, Phys. Rev. Lett. **53**, 1810 (1984); J. Opt. Soc. Amer. B **2**, 486 (1985).
67. M. Trippenbach, K. Rzazewski, M. V. Fedorov, and A. E. Kazakov, J. Phys. B **22**, 1193 (1989).
68. O. V. Tikhonova, A. M. Popov, and M. V. Fedorov, Phys. Rev. A **65**, 053404 (2002).
69. L. Hostler, J. Math. Phys. **5**, 591 (1964).